

XMCD-PEEM法を活用した

ネオジム磁石合金の磁区構造観察

住友金属工業(株) 総合技術研究所

山本祐義、米村光治

高輝度光科学センター（JASRI） SPring-8

福本恵紀¹⁾、脇田高徳²⁾、郭方准³⁾、中村哲也、佐藤眞直、木下豊彦、渡辺義夫⁴⁾

1)現 東工大, 2)現 岡山大, 3)現 中国科学院大連化物物理研, 4)現 科学技術振興機構, 慶應義塾大

大阪大学大学院工学研究科 マテリアル生産科学専攻

寺井智之、掛下知行

本研究は、SPring-8戦略活用プログラム課題
(2005B, 2006A, 2006B期)で実施されました

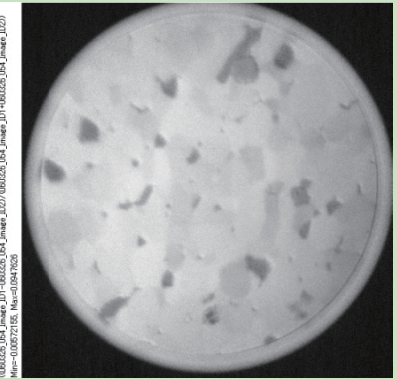
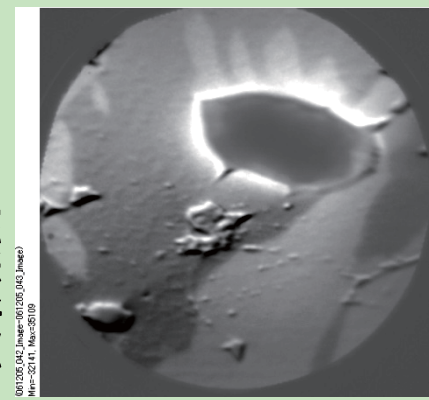
概要

目的：ネオジム磁石の重要特性である保磁力について
材料組織の観点から視覚的に知見を得る

X M C D-P E M 法を活用し、
ネオジム磁石の磁区構造・構成相の分布情報を得る

外部磁場に対する磁区構造変化（磁場消磁状態）

表層直下の反転磁区
磁石表層特有



熱消磁状態

内 容

1. 背景
ネオジム磁石と保磁力について
2. XMCD-PEEMと磁石の磁区観察への活用方法
 - (1) XMCD-PEEMについて
 - (2) 磁化曲線上の磁区構造の推定描像と着目点
 - (3) 磁区観察用試料の調製
3. 磁区構造と元素分布
 - (1) 熱消磁状態における磁区構造の特徴
 - (2) 外部磁場に対する磁区構造変化(磁場消磁状態)
 - ・磁石表層に特有の現象
 - ・磁化反転した磁区の形態的な特徴(表層直下)
4. まとめ

ネオジム磁石の用途例と高保磁力化の必要性

100°C

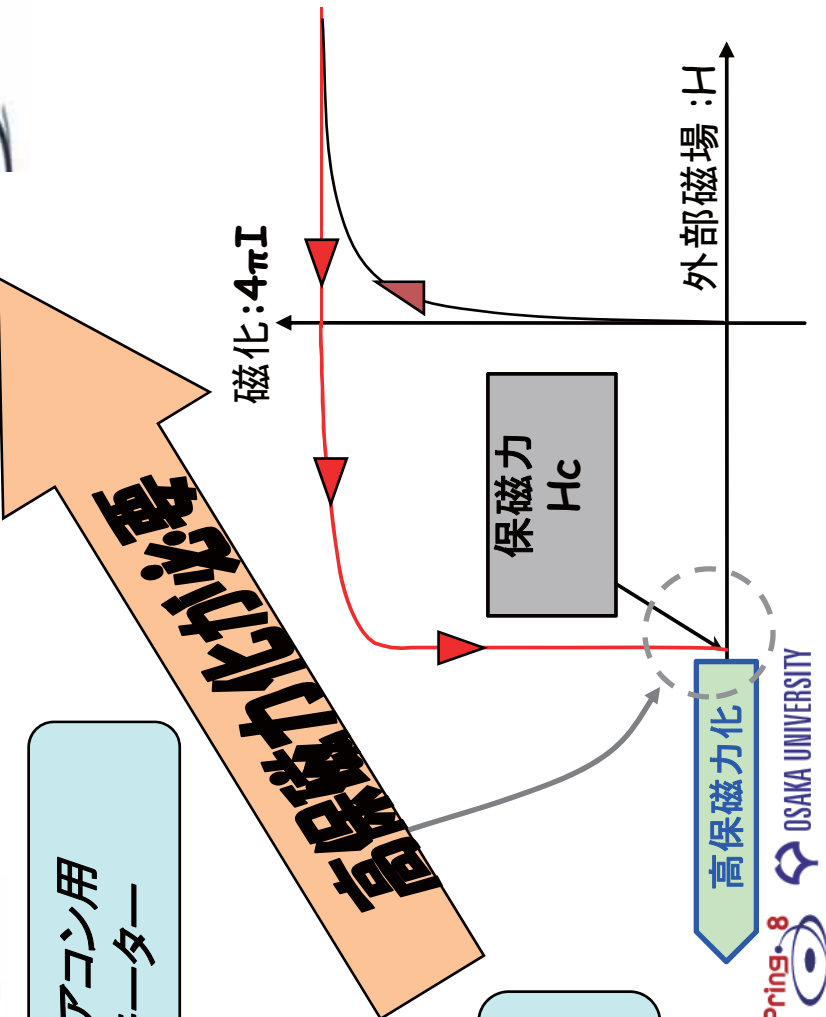
使用環境の高温化

200°C



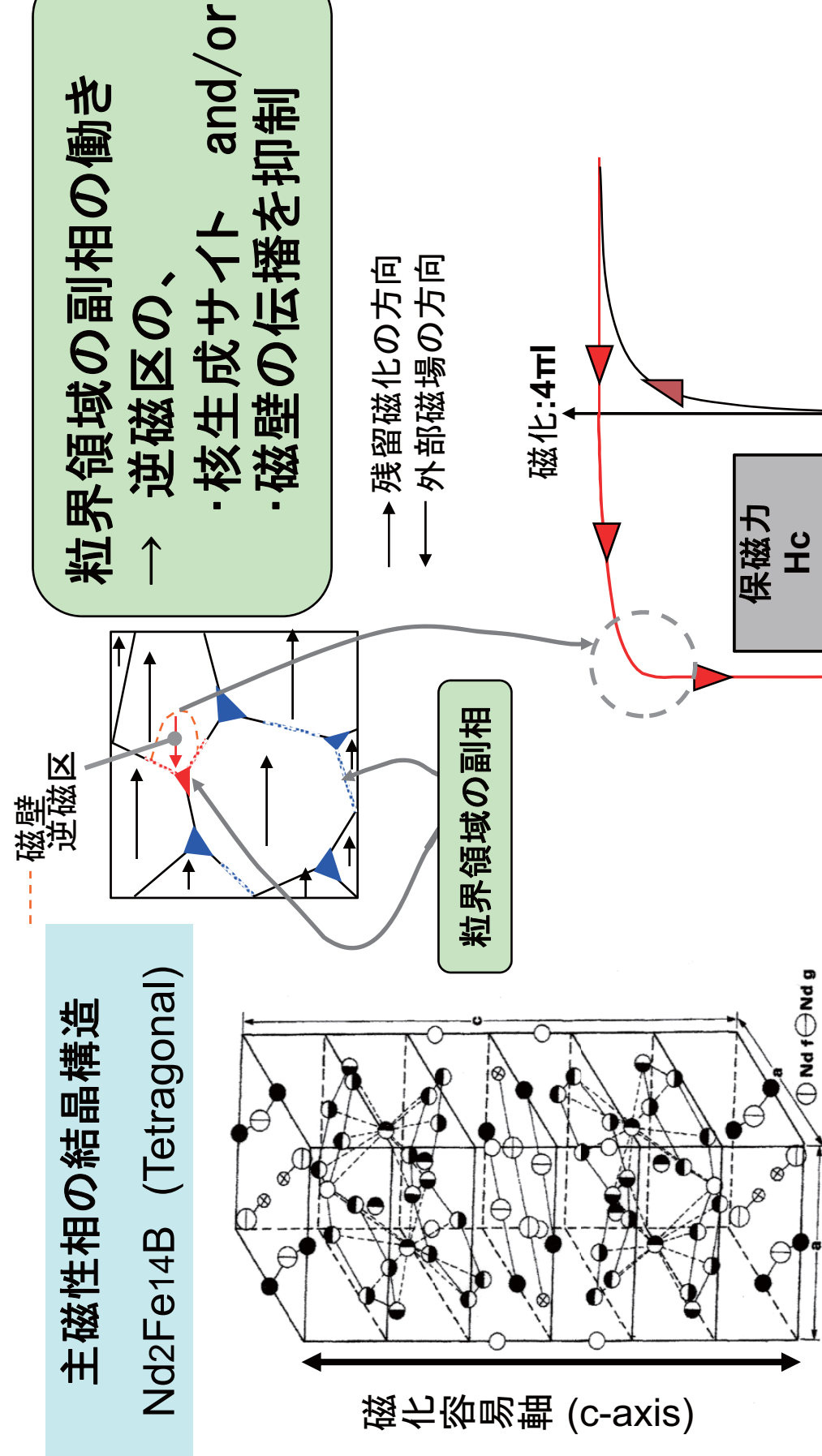
省エネ型エアコン用
室外機モーター

ハイブリッド自動車・
電気自動車用モーター



ハードディスクドライブ用
ボイスコイルモーター

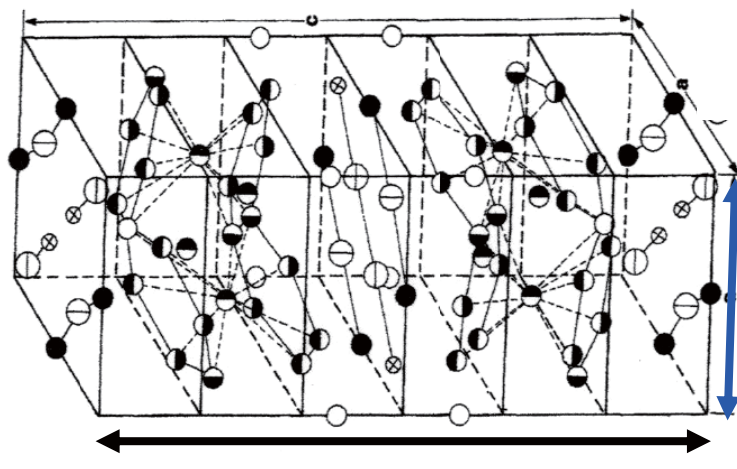
ネオジム磁石の保磁力発生機構：逆磁区の「核発生型」



ネオジム磁石の保磁力

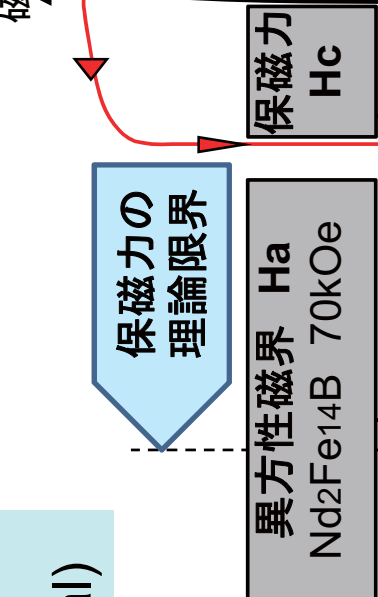
主磁性相の結晶構造 $\text{Nd}_2\text{Fe}_{14}\text{B}$ (Tetragonal)

磁化容易軸 (c-axis)



磁化容易軸 (c-axis)

磁化: $4\pi M$



外部磁場 : H

容易軸

実磁石

難易軸

磁化困難軸 (a-axis)



ネオジム磁石の保磁力

第1項：逆磁区の核発生が起ころる実効的な磁界 \propto 異方性磁界 H_a
・ $R_2Fe_{14}B$ の異方性磁界 (H_a) を高めるために R の Nd を Dy に置換
・焼結体の結晶組織を均一微細化 (係数 c 増大)

(資源問題)

Dy : 希少、高価

↓
組織制御による
アプローチが重要

(実用上の問題)
保磁力 << 異方性磁界
 $H_{cj} \sim H_a$ 値の 10 数 %

保磁力 $H_c = cH_a - Nis$

第2項：逆磁区の核発生場所に働く局所的な反磁界 \propto 自発磁化 Is
・(アプローチ例) 結晶粒の形状をより球状化 (係数 N 減少)

【保磁力低下の材料組織学的要因】

磁区観察による
ビジュアルな情報を追究

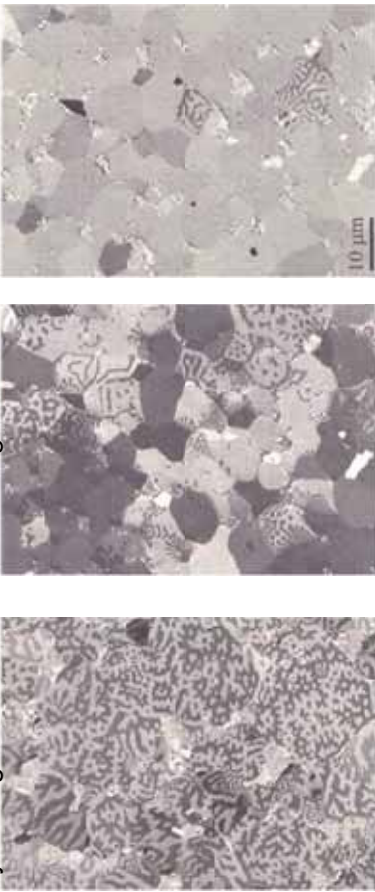
- a) 結晶粒界・界面構造の乱れ → 逆磁区核発生の起点
- b) 結晶粒径分布 粗大化 → ①隣接結晶粒間の磁気的相互作用、②多磁区化
- c) 磁化容易軸の配向性 高配向度 → 保磁力低下 (残留磁化は増大)
- d) 結晶粒界異相の存在 軟磁性相 → 隣接結晶粒間の磁気的結合による磁壁移動促進



ネオジム焼結磁石の磁区観察例

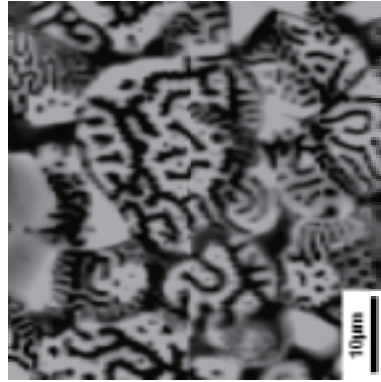
偏光頭微鏡 (Kerr効果)

Thermally demagnetized state DC - demagnetized state Remnant state



Alex Hubert, Rudolf Schäfer ; "Magnetic Domains" 553 (1998) Springer,
D. Eckert et.al. ; JMMM 83, (1990), 197

磁気力頭微鏡



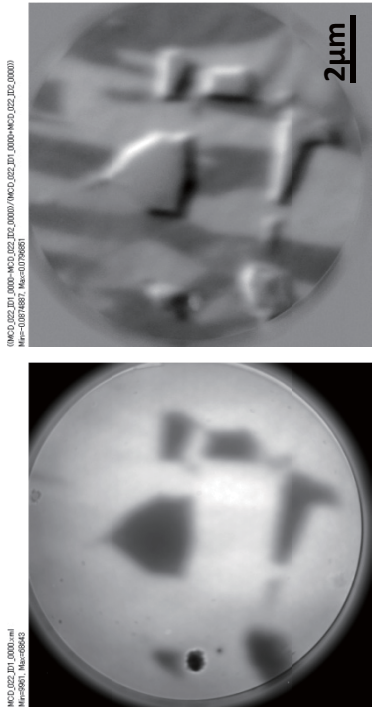
SII NanoTechnology Inc.
http://www.siiint.com/products/spm/sp_MFM/introduction.html

ローレンツ頭微鏡 & 電子ホログラフィー



Young-Gil and Daisuke Shindo ; JEM 53 (1) 43 (2004)

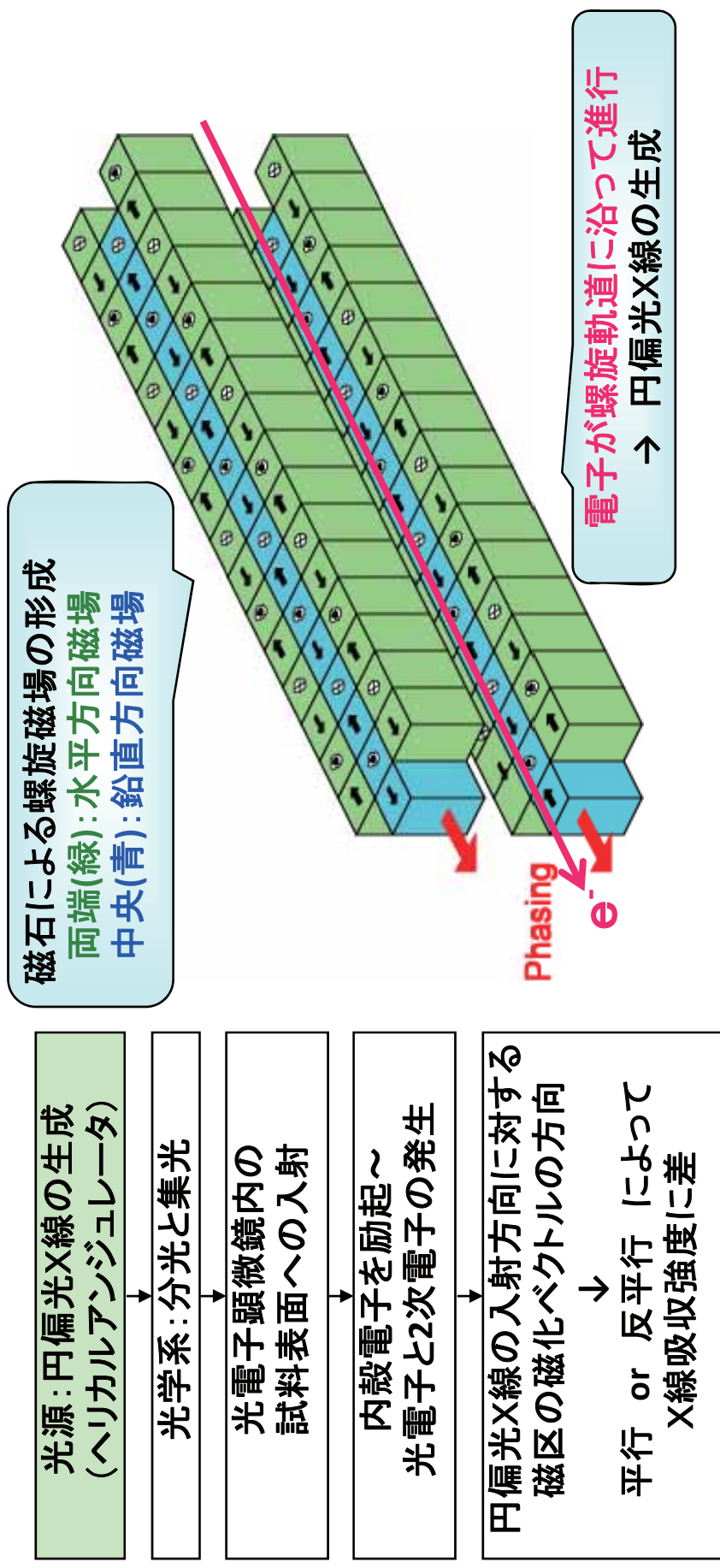
XMCD-PEEM (本研究)



元素分布情報

X線磁気円2色性一光電子顕微分光法

(X-ray Magnetic Circular Dichroism - Photoemission Electron Microscopy ; XMCD-PEEM)



<http://www.spring8.or.jp/ja/facilities/bl/sources/publicfolder.2005-09-27.1881239888/publicdocument.2005-10-18.1603881802#helical>

X線磁気円2色性一光電子顕微分光法

(X-ray Magnetic Circular Dichroism - Photoemission Electron Microscopy ; XMCD-PEEM)

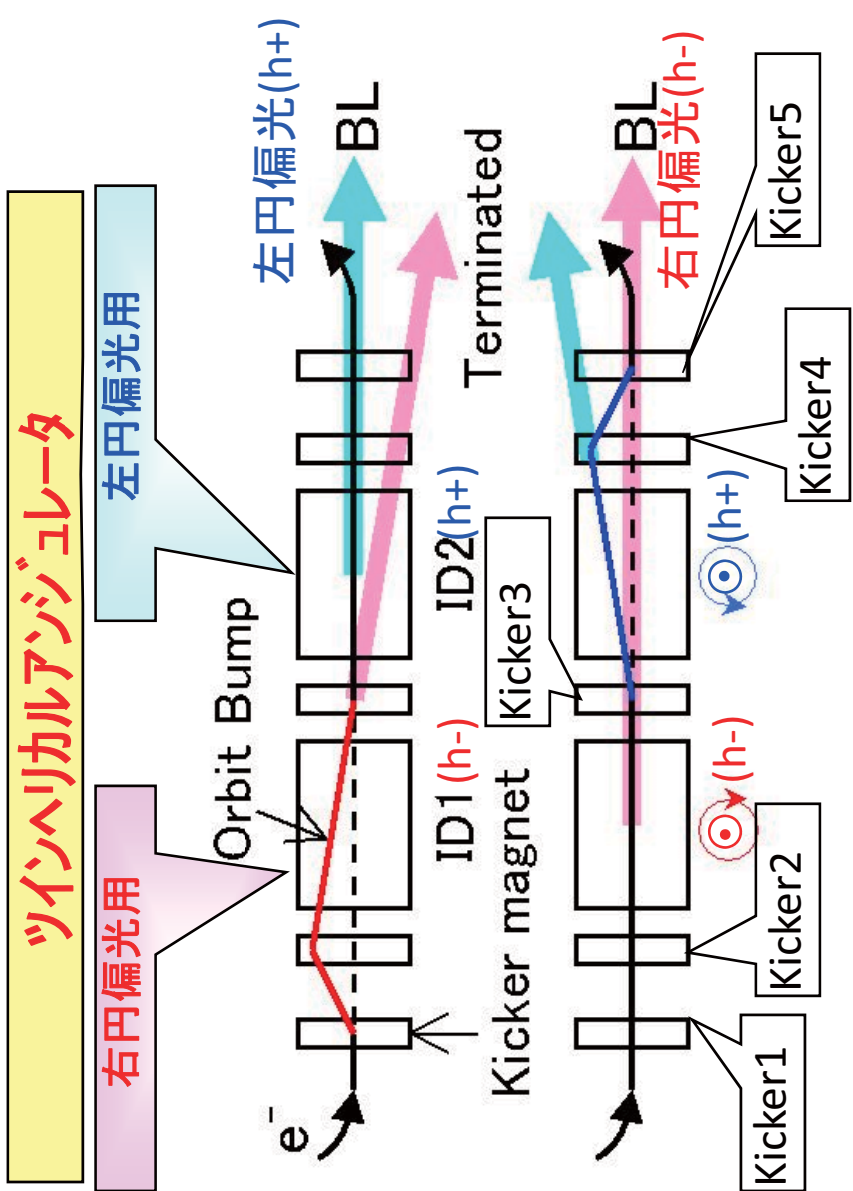
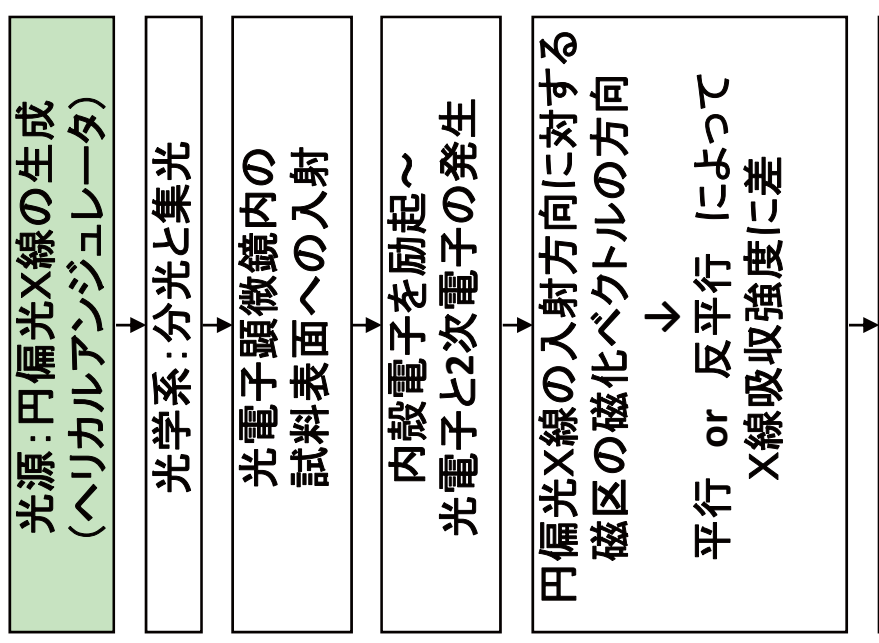
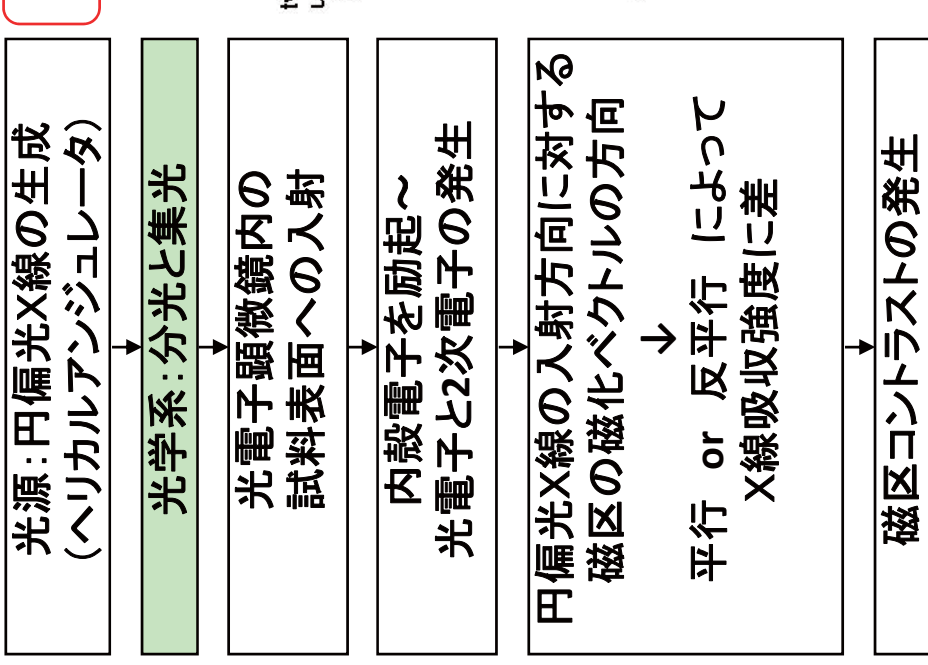


図. ツインヘリカルアンジュレータによる左右円偏光の反転操作(BL25SU)

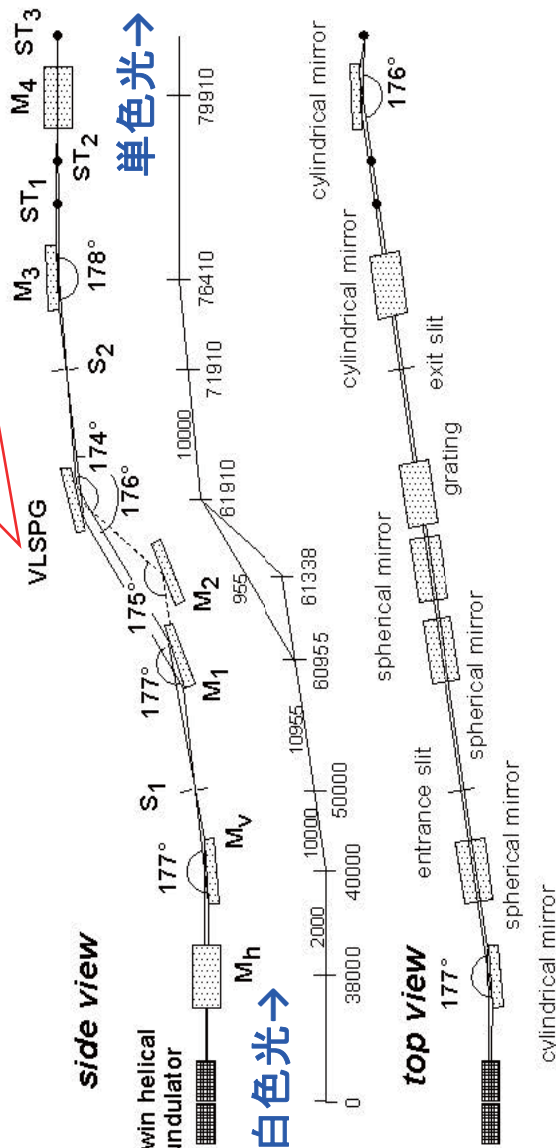
http://www.spring8.or.jp/wkg/wkg/BL25SU/instrument/lang/INS-0000000489/instrument_summary_view?q=BlwGTA&f=null

X線磁気円2色性一光電子顕微分光法

(X-ray Magnetic Circular Dichroism - Photoemission Electron Microscopy ; XMCD-PEEM)



不等間隔刻線平面回折格子： 波長(エネルギー)の選択(単色化)

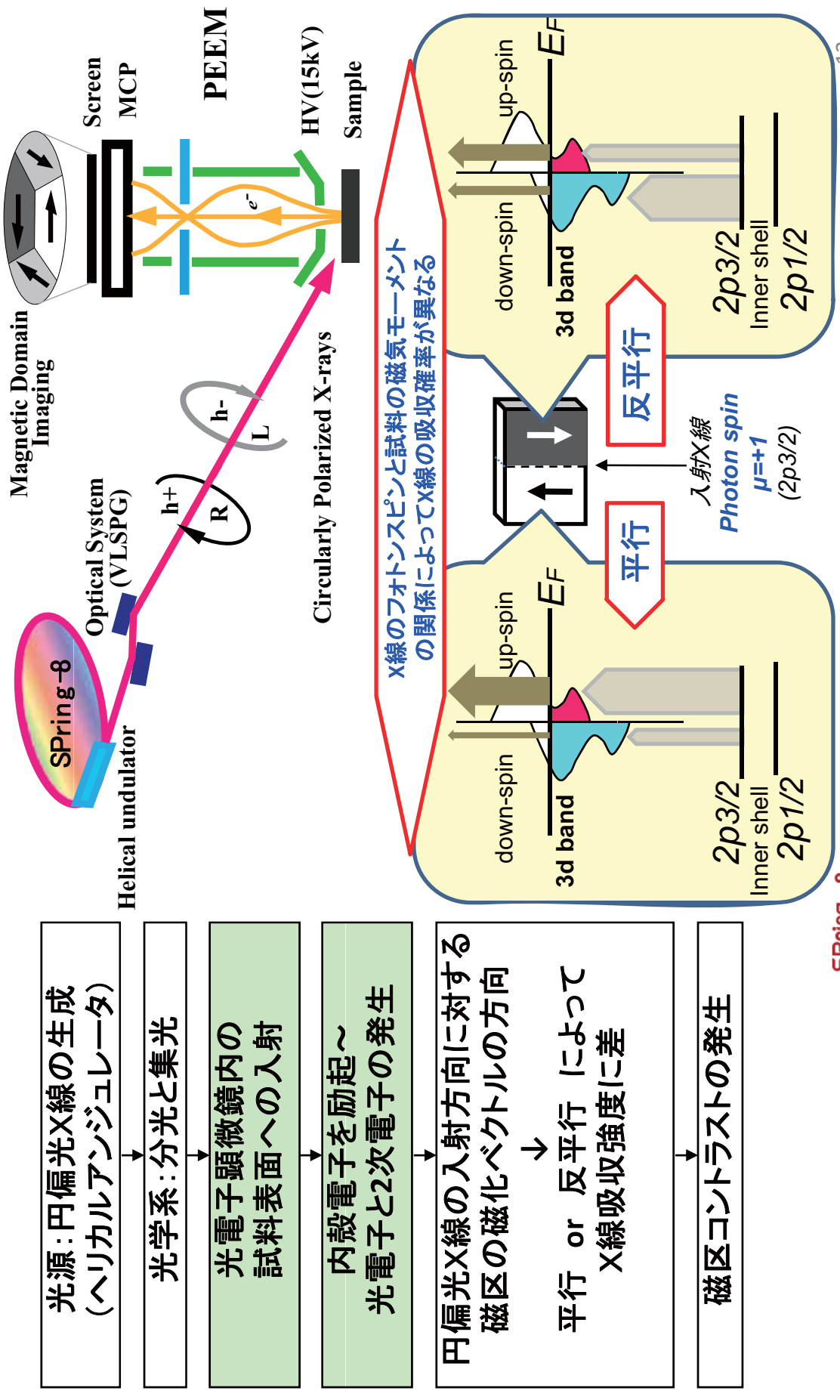


エネルギーースキヤンの制御範囲： 220～2000eV
エネルギー分解能： $E/\Delta E > 10000$
ビームサイズ < 0.4mmφ

図. 光学系 (SPring-8: BL25SU)

X線磁気円2色性－光電子顕微分光法

(X-ray Magnetic Circular Dichroism - Photoemission Electron Microscopy ; XMCD-PEEM)



X線磁気円2色性－光電子顕微分光法

(X-ray Magnetic Circular Dichroism - Photoemission Electron Microscopy; XMCD-PEEM)

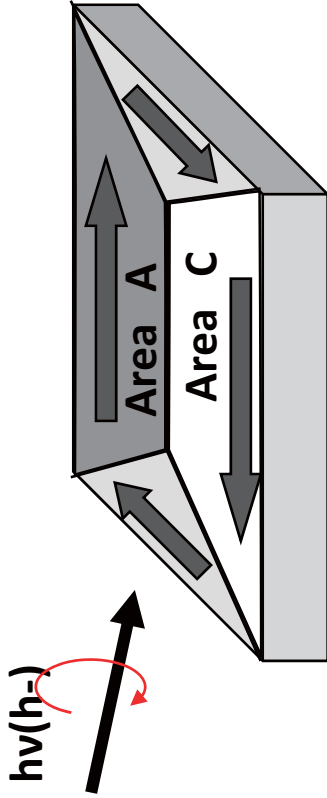
表. 入射X線の円偏光の向きと磁区構造中のコントラストの関係

入射光 (Fe-L3吸収端)	試料内磁区の磁化ベクトル方向と入射光方向の関係		
	平行(0°)	垂直(90°)	反平行(180°)
右円偏光X線(マイナスヘルシティ; h-)	黒	グレー	白
左円偏光X線(プラスヘルシティ; h+)	白	グレー	黒

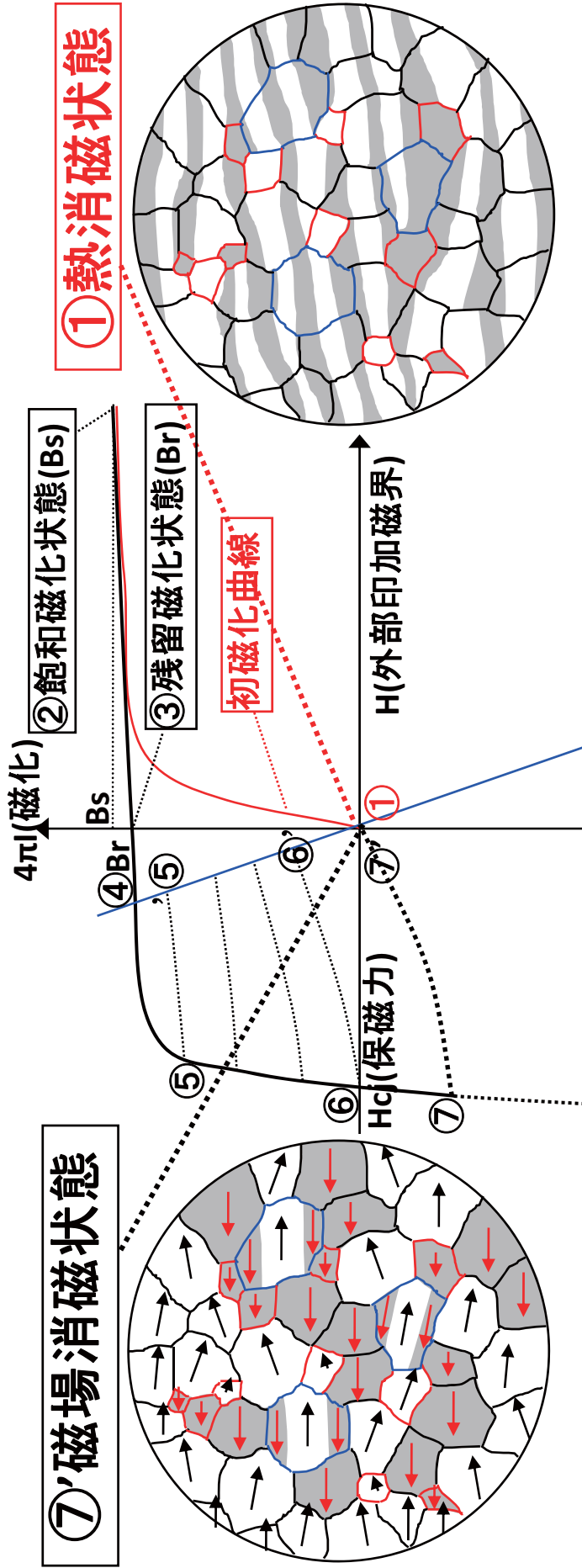
磁化ベクトル：磁区内で一極(S極)から十極(N極)に向かう方向

円偏光X線の入射方向に対する
磁区の磁化ベクトルの方向
↓
平行 or 反平行 によって
X線吸収強度に差

→
磁区コントラストの発生



磁化曲線上の磁区構造の推定描像と着目点



<着目点>

- ① 单磁区／多磁区
- ② 反転磁区の空間分布的特徴：サイズ、形状、c軸配向度
- ③ 反転磁区の空間分布的特徴：孤立状態／集合体形成
- ④ 反転磁区とその周辺環境の特徴：副相(R-richなど)の種類、形状、副相の磁性的な特徴(常磁性/軟磁性)

<着目点>

- ① 单磁区／多磁区
- ② 隣接結晶粒間の磁気的結合

PEEMSPECTOR(BL25SU) SPELEEM(BL17SU)の活用性とチャレンジ

a)磁区観察 PEEMSPECTOR(BL25SU) SPELEEM(BL17SU)

→ 元素選択的な磁区観察(Fe,Nd, Dy)が可能

b)元素マッピング 2次電子像 (PEEM/SPECTOR, SPELEEM)

→ 定性的な元素分布(Fe,Nd, Dy)が測定可能

(チャレンジのみ)

c)元素マッピング オージェ電子(1次電子)のアナライジング機能(SPELEEM; BL17SU)

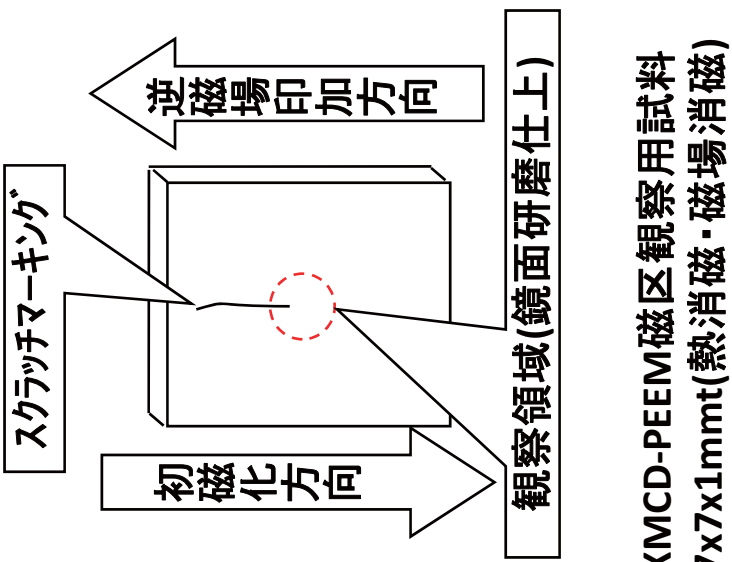
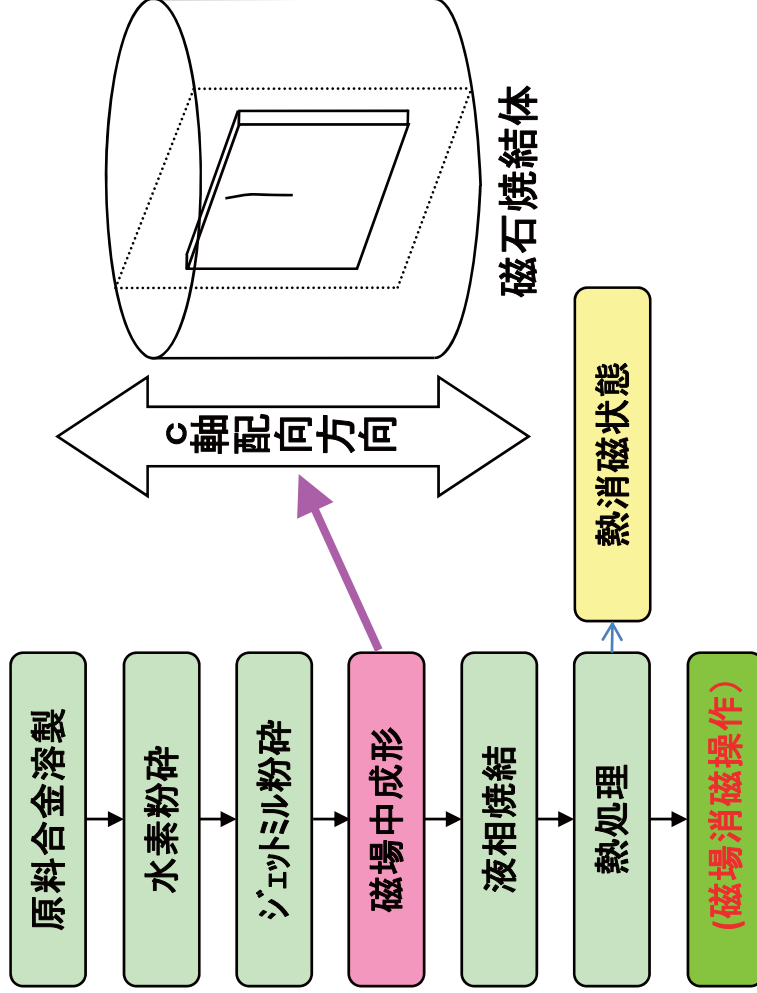
d)ケミカルシフトマッピング 特定の化学結合状態の表面分布情報(SPELEEM ; BL17SU)

e)結晶粒配向マッピング 個々の結晶粒のLEEDパターン解析 (SPELEEM LEEMモード)

XMC-D-PEEM磁区観察用試料の調製

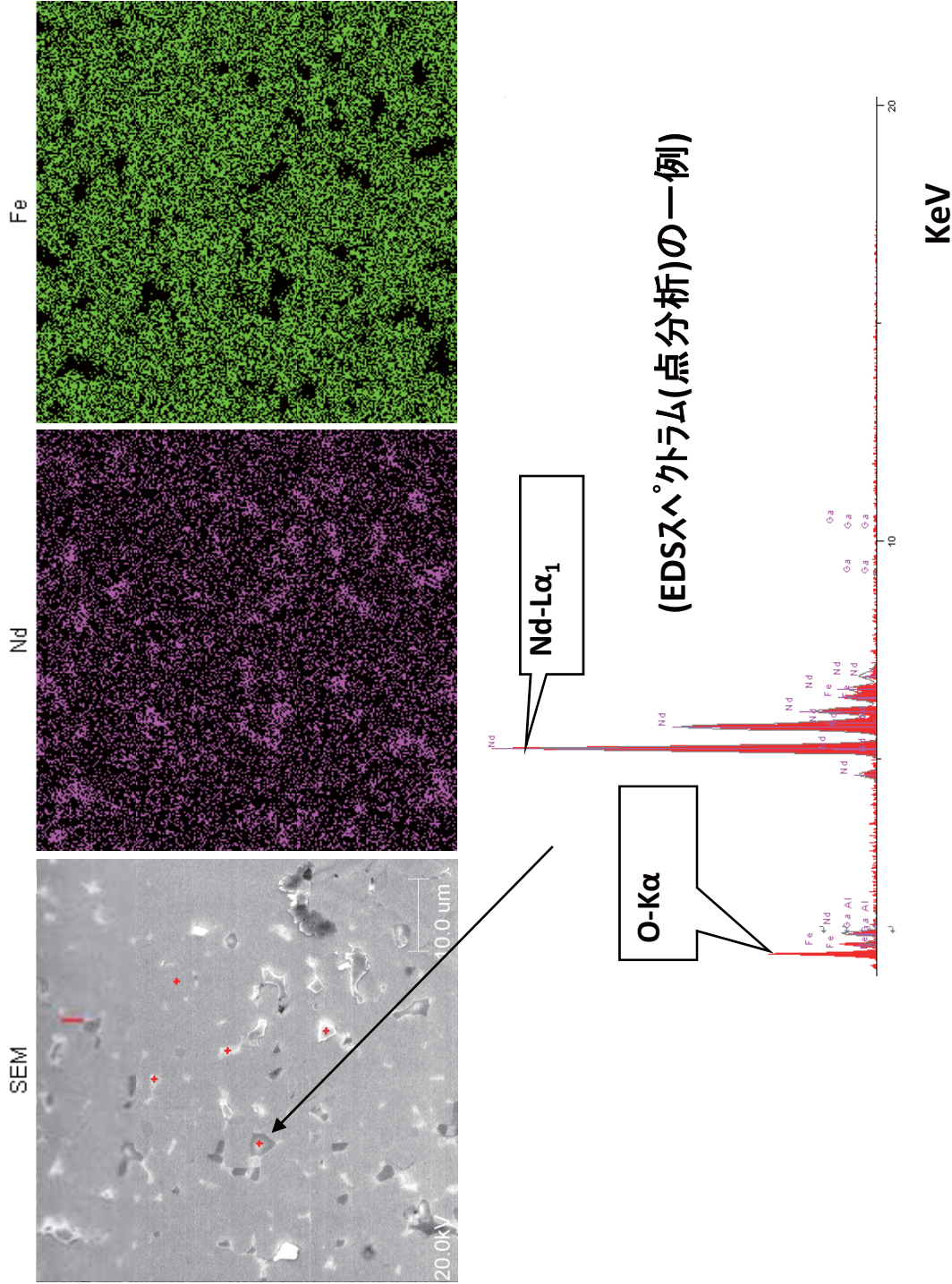
- (1) Nd-Fe-B系合金 : Fe-32mass%Nd-1mass%B
(2) Nd-Dy-Fe-B系合金(高保磁力型) : Fe-27mass%Nd-5mass%Dy-1mass%B

磁石作製フロー図



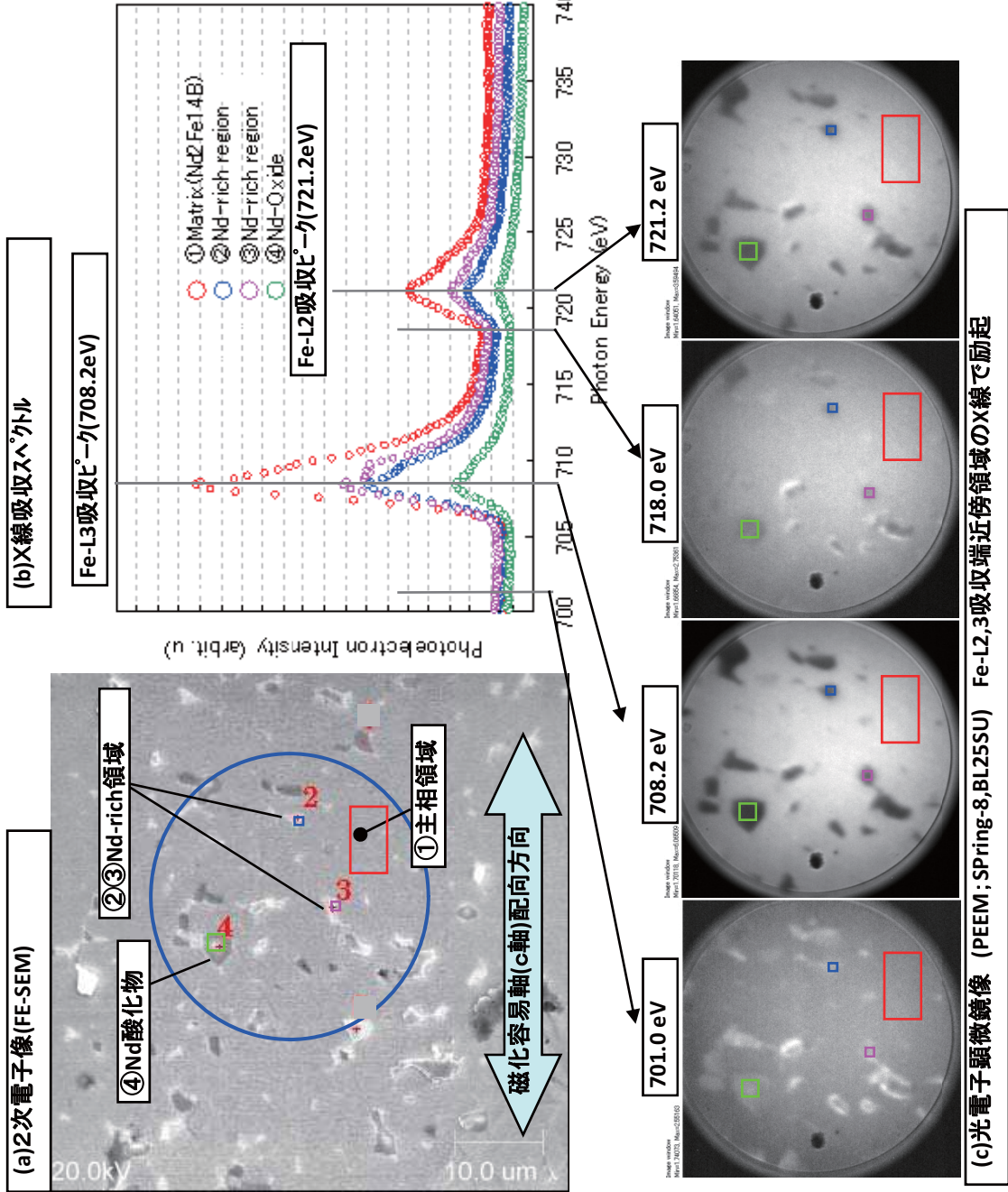
FE-SEMによる組織形態観察とEDS分析(予備実験)

Nd-Fe-B系合金

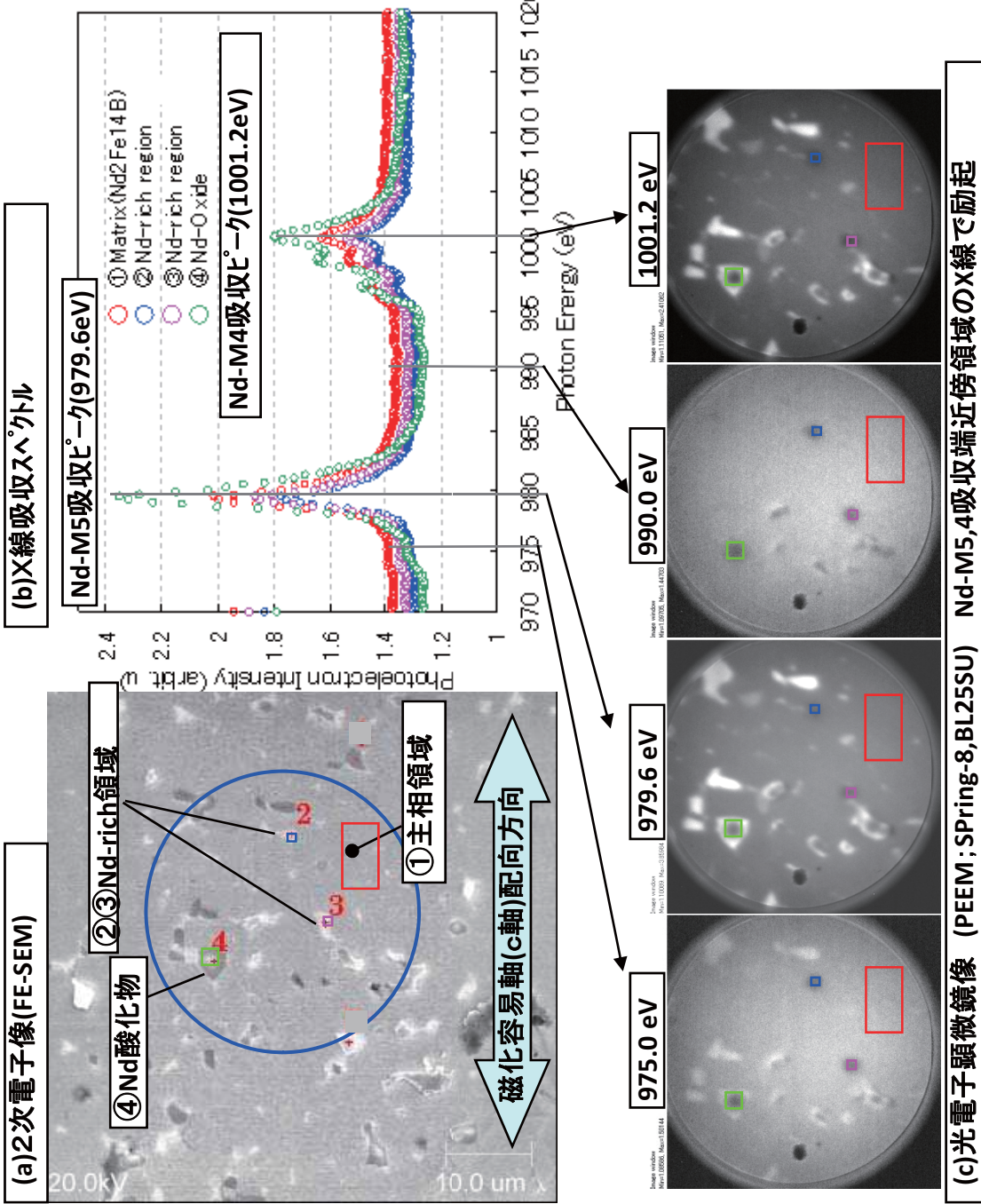


Nd-Fe-B系合金 熱消磁状態

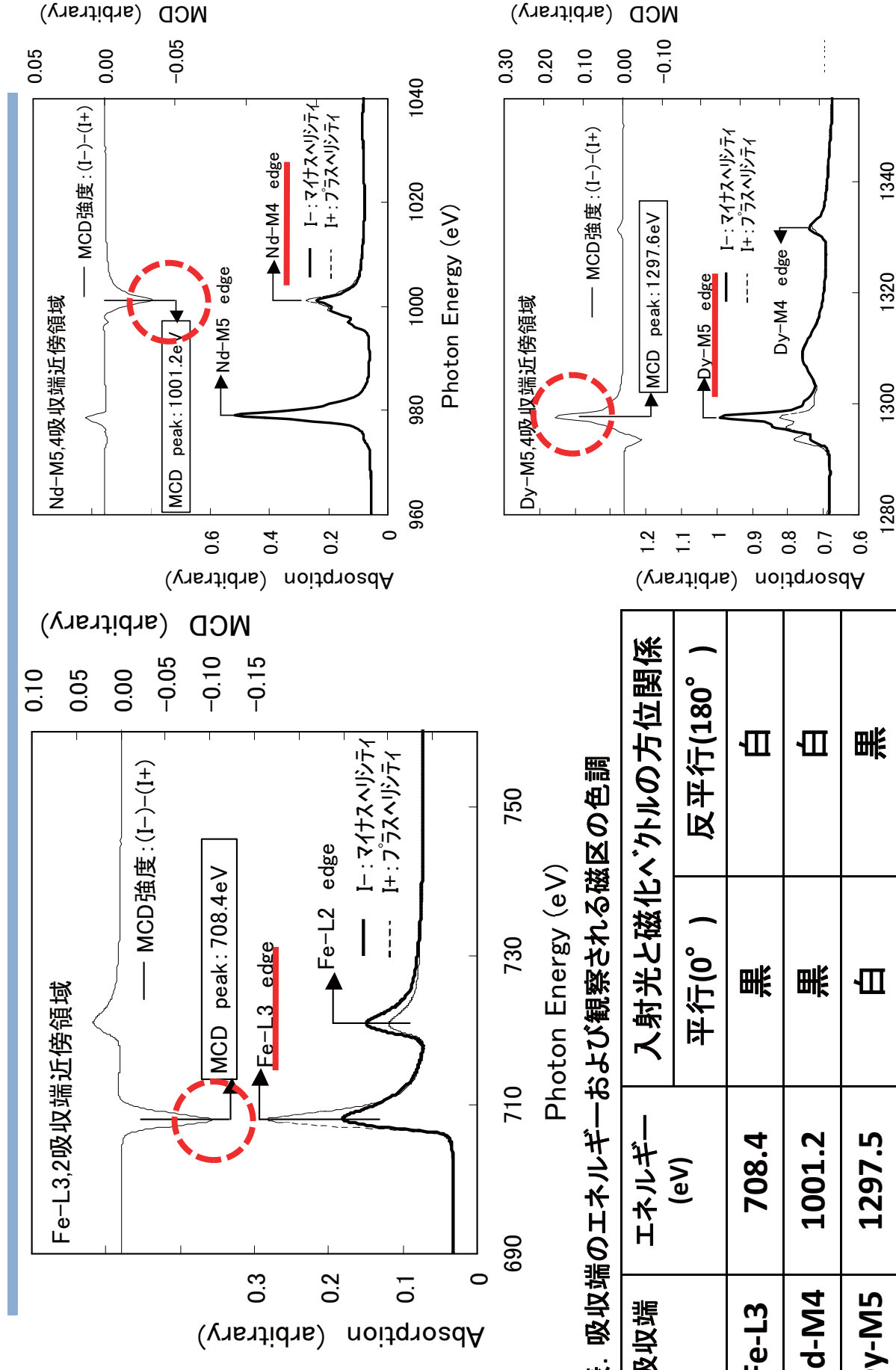
Fe-L吸収端近傍領域のX線吸収スペクトルと光電子顕微鏡像



Nd-Fe-B系合金 熱消磁状態

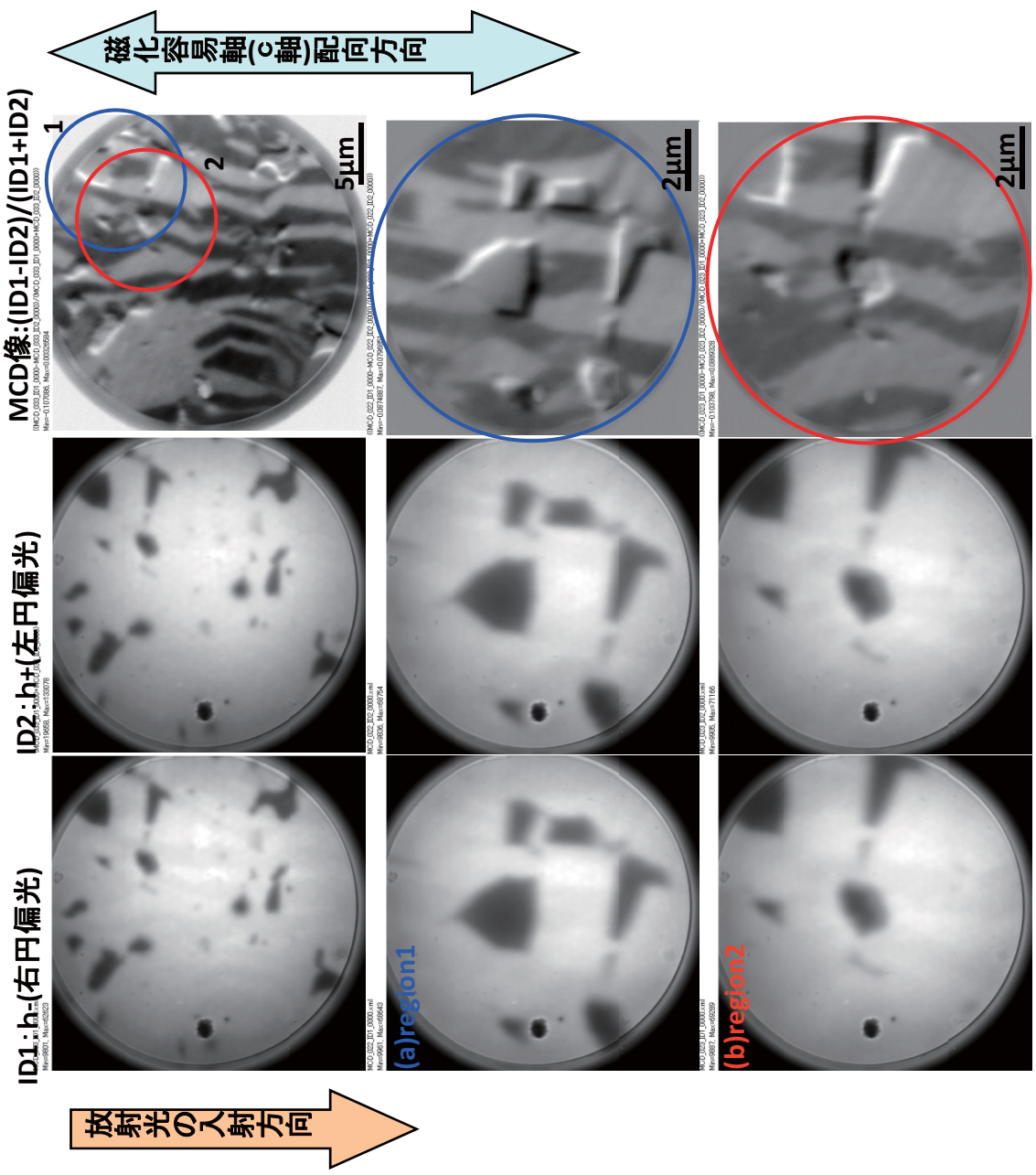


MCDスペクトルの測定例（全電子収量法）



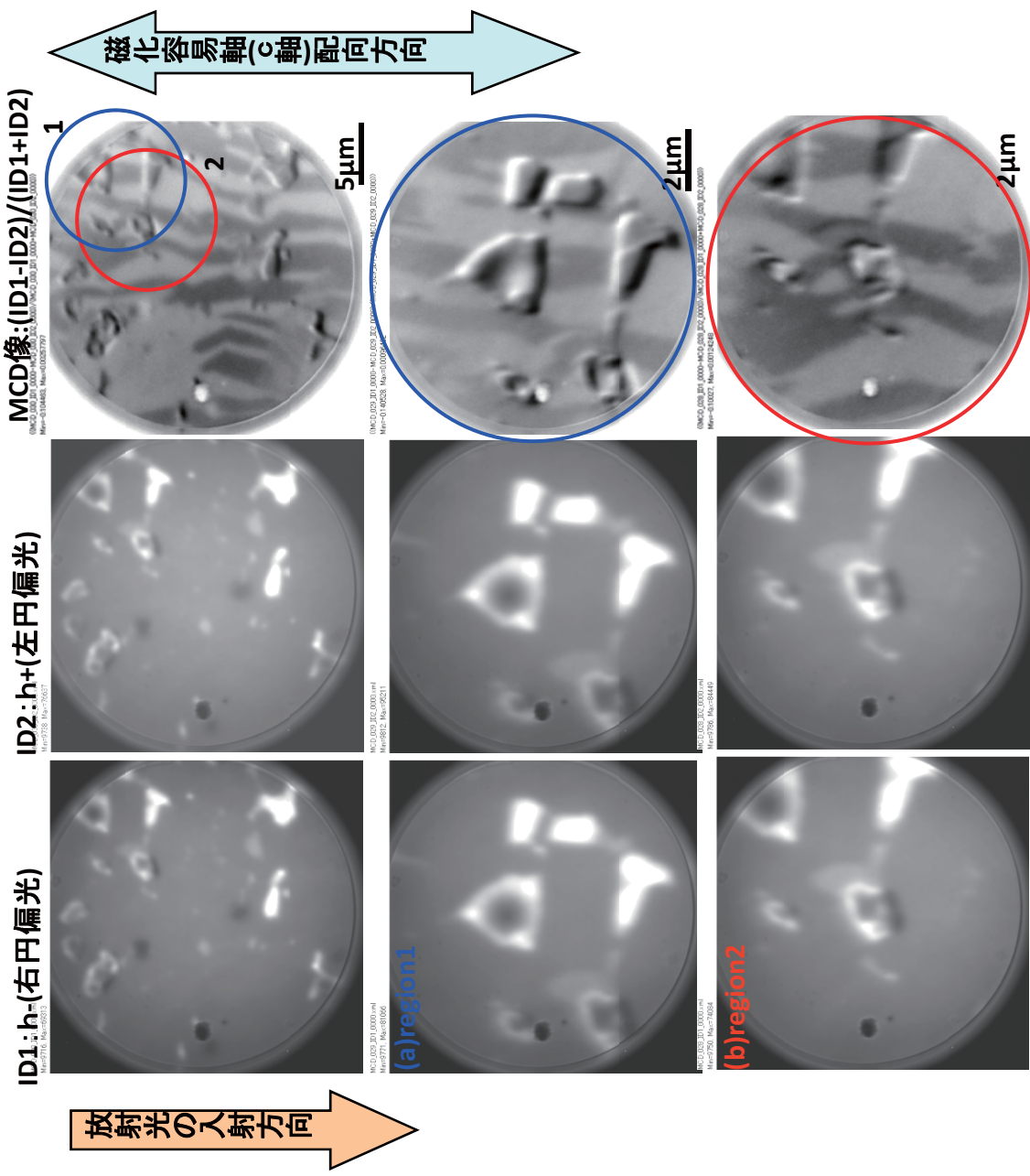
熱消磁状態の磁区構造 (Nd-Fe-B系)

入射X線 : Fe-L3 MCD ℓ° - κ (708.4eV)

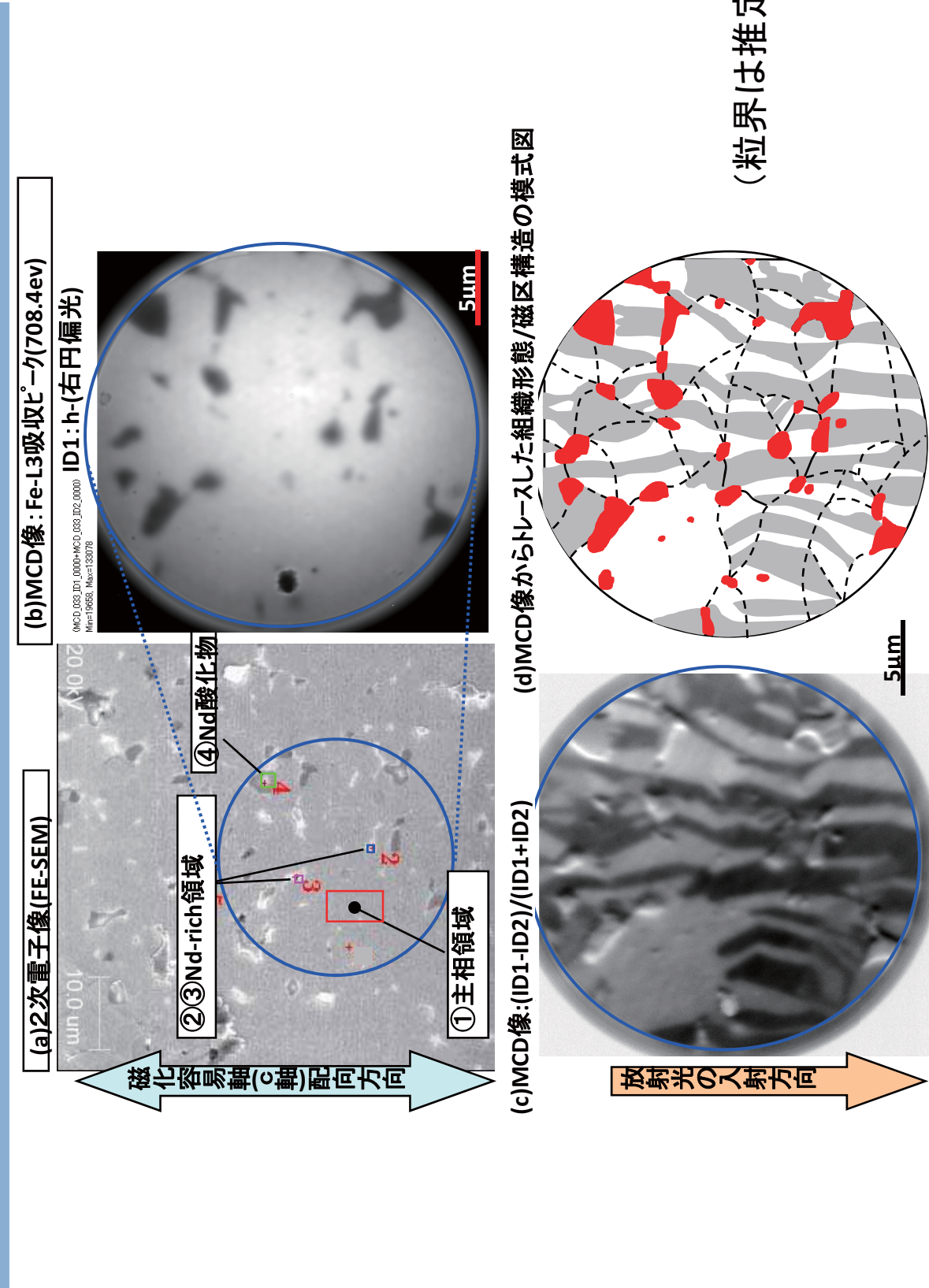


熱消磁状態の磁区構造 (Nd-Fe-B系)

入射X線: Nd-M4 MCD \downarrow - κ (1001.2eV)



熱消磁状態の磁区構造 (Nd-Fe-B系) 入射X線: Fe-L3 MCD ℓ - κ (708.4eV)



磁場消磁操作

Nd-Dy-Fe-B系合金

< SQUIDを用いた精密磁場消磁サッフルの作製 > (阪大, 掛下研究室)

(1) サッフル: 面内に平行な一方方向に磁化容易軸(c軸)が配向

(2) 磁場消磁要領: 飽和磁化後、逆磁場印加。外部磁場がゼロの時の残留磁化がゼロに近く
づくように、マイナーレープを確認しつつ逆磁場を増大。最終的な磁化～5mT (0.5G)

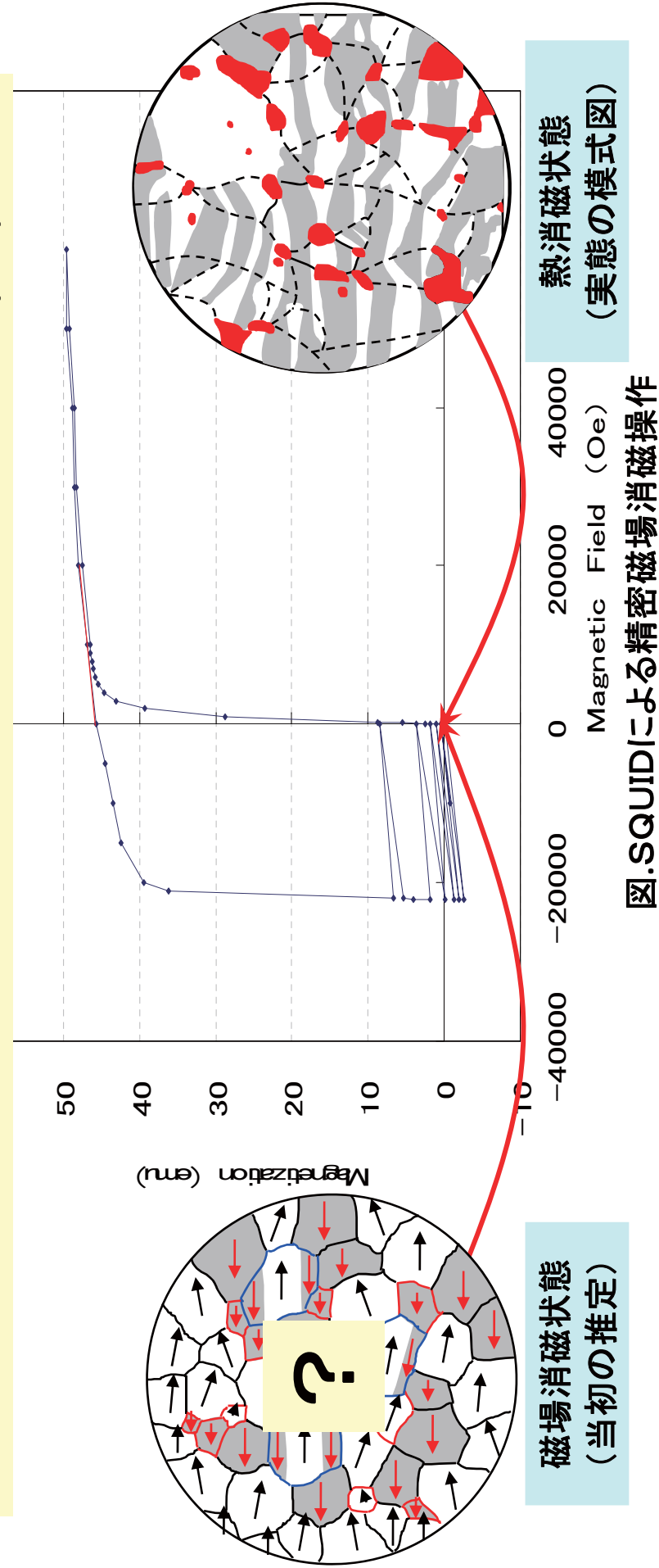


図.SQUIDによる精密磁場消磁操作

Nd-Dy-Fe-B系合金 磁場消磁状態 非点収差補正とPEEM像の形状補正

磁場消磁サブルのPEEM像は結像が困難 → 原因はサンプル表面からの漏れ磁場?
大きな非点収差補正が必要, 同一視野の光学顕微鏡像と比較してPEEM像の形状を補正

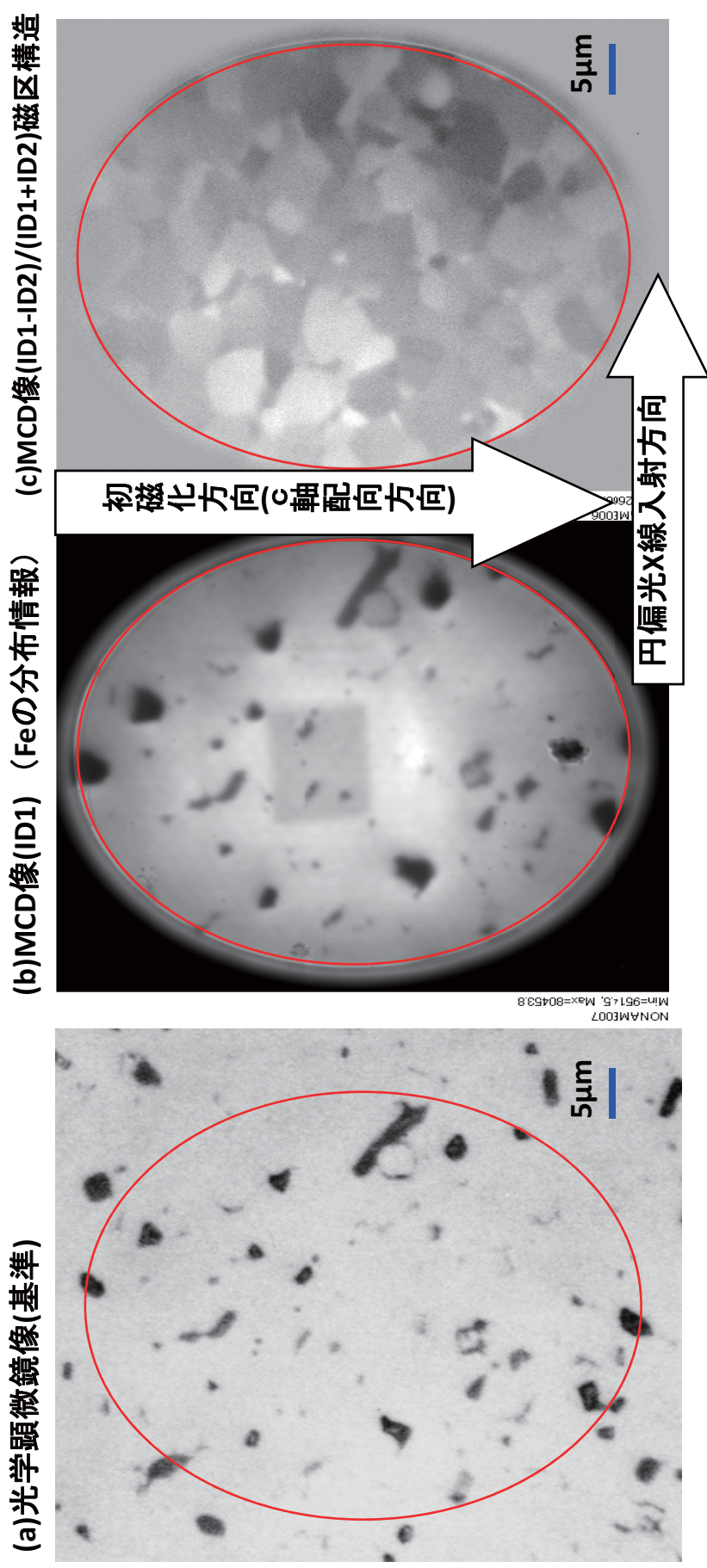


図.PEEM像の形状補正 (磁場消磁状態)

Fe-L3吸収端 (c軸配向方向 上 放射光入射方向)

磁場消磁状態の表面磁区構造

Nd-Fe-B系合金
磁場消磁状態

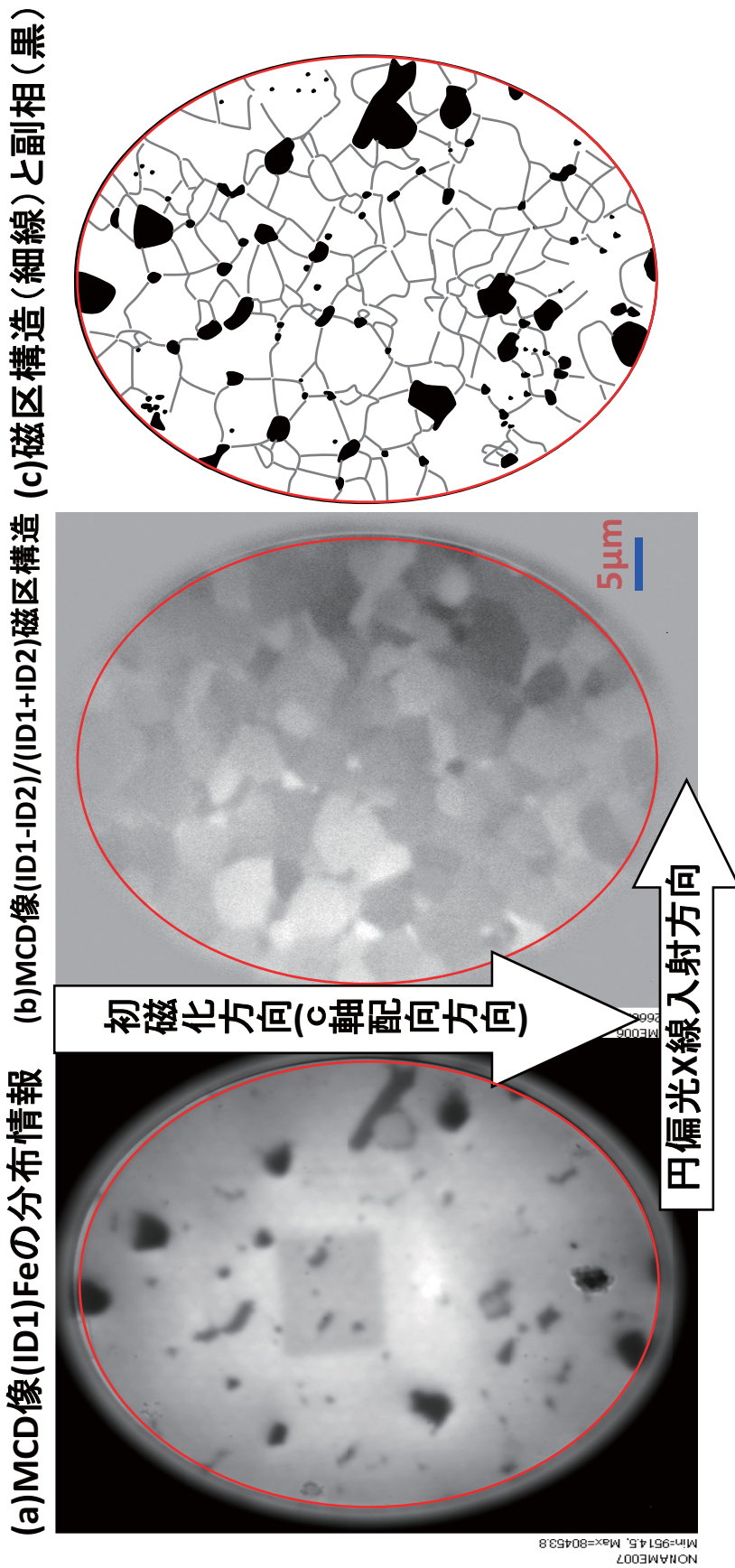


図. 副相およびトメイン境界の識別 Sample: 磁場消磁状態
Fe-L3吸収端 (c軸配向方向 \perp 放射光入射方向)



磁場消磁状態の磁区構造における反転磁区の識別

Nd-Fe-B系合金
磁場消磁状態

表. 磁区コントラストと磁化方向の対応の識別

入射光のエネルギー		磁化ベクトルの方向	
Fe-L3吸収端	Dy-M5吸収端	黒	白
Fe-L3吸収端	Dy-M5吸収端	白	黒

(a)MCD像(ID1)Feの分布情報

060326_054_Image_ID1.xml
060326_054_Image_ID2.xml
Min=-31.28, Max=30943

(b)MCD像(ID1-ID2)/(ID1+ID2)磁区構造

060326_054_Image_ID1-060326_054_Image_ID2/060326_054_Image_ID1+060326_054_Image_ID2
Min=-0.00572155, Max=0.0947626

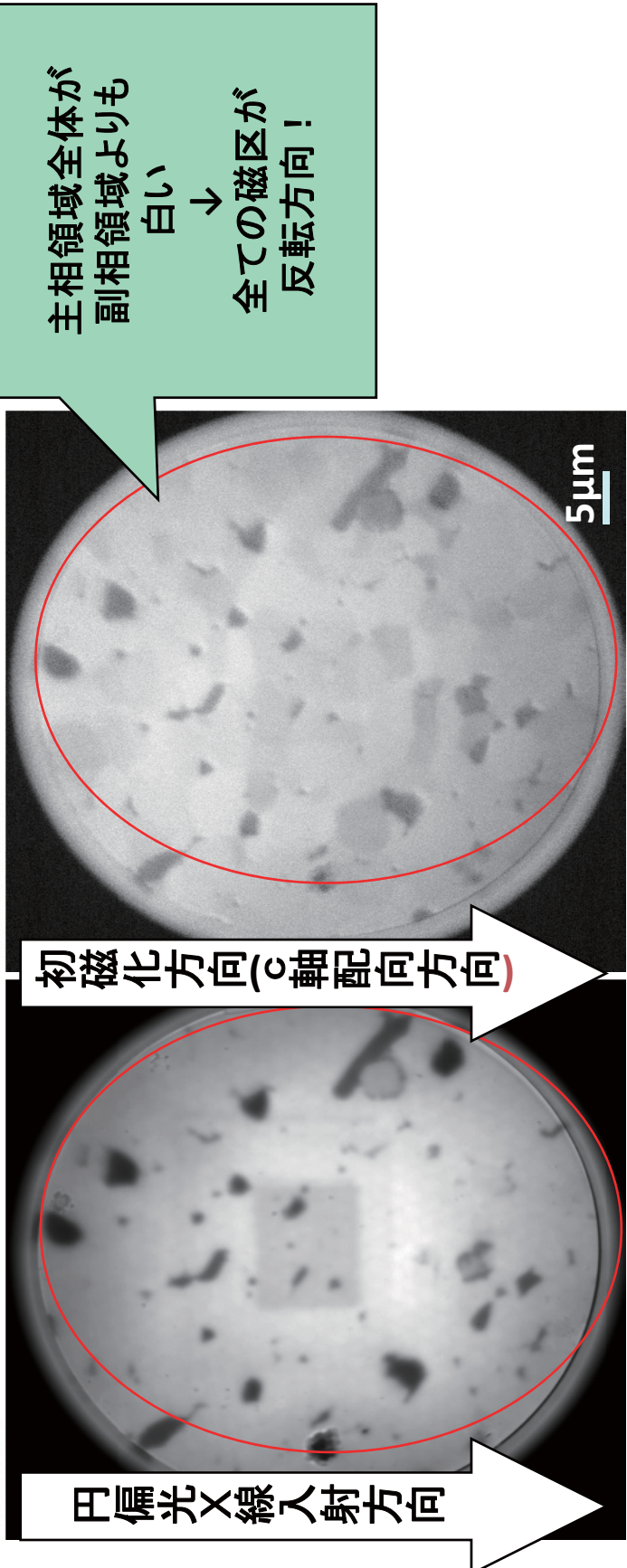
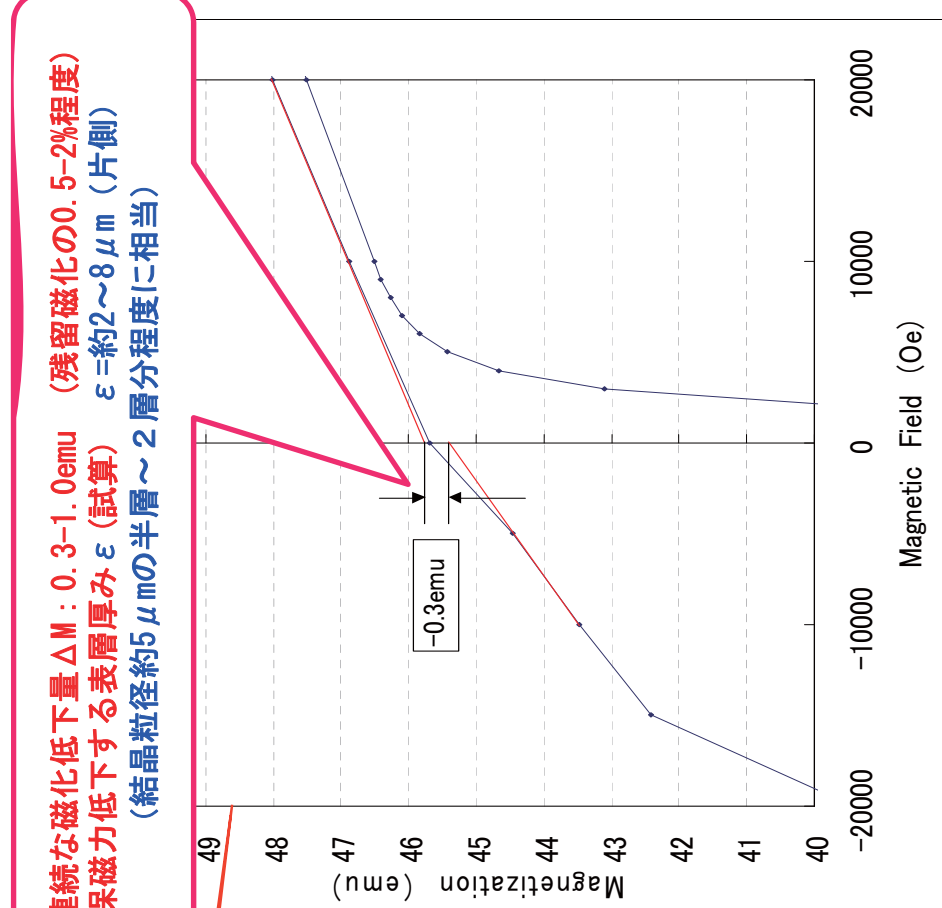
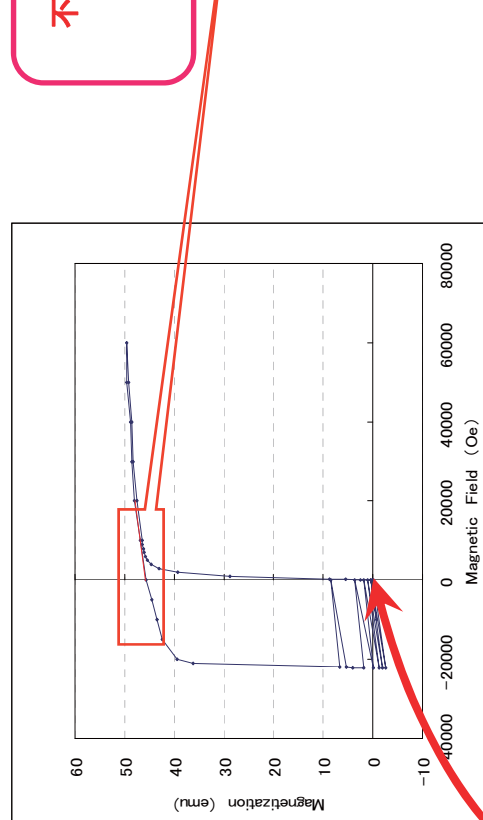


図. Sample: 磁場消磁まま Fe-L3吸収端(c軸配向方向//放射光入射方向)

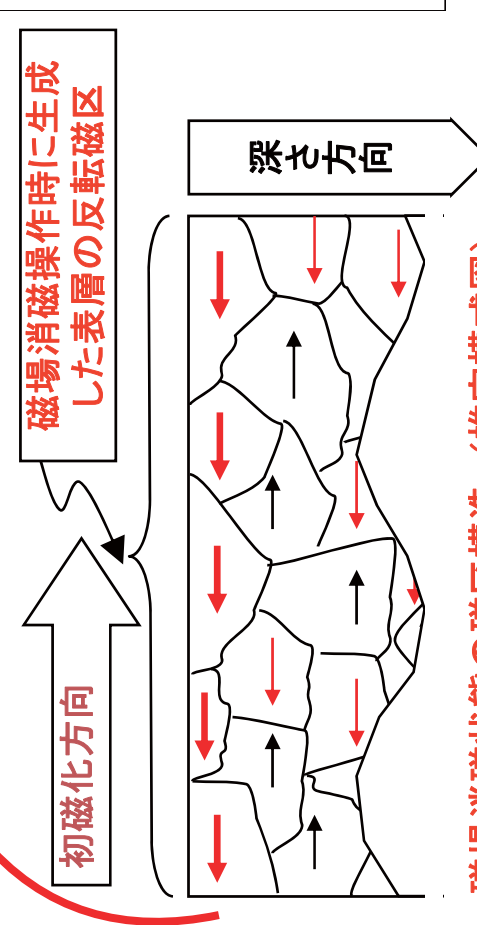
最表層の一斉磁化反転はなぜ起きるのか？

原因： 最表層の結晶粒は保磁力が小さい → 逆磁場を印加したときに優先的に磁化反転



磁場消磁操作時に生成
した表層の反転磁区

初磁化方向



磁場消磁状態の磁区構造（推定模式図）

逆磁場印加時の磁化の落ち込み現象

磁石の最表層部分における保磁力低下現象（文献情報）

ネオジム磁石の円柱半径Rの減少とともに、表層εの割合が増加し、減磁量ΔMが増大

D. Givord, et. al.; JAP. 60(9), 1 (1986) 3263

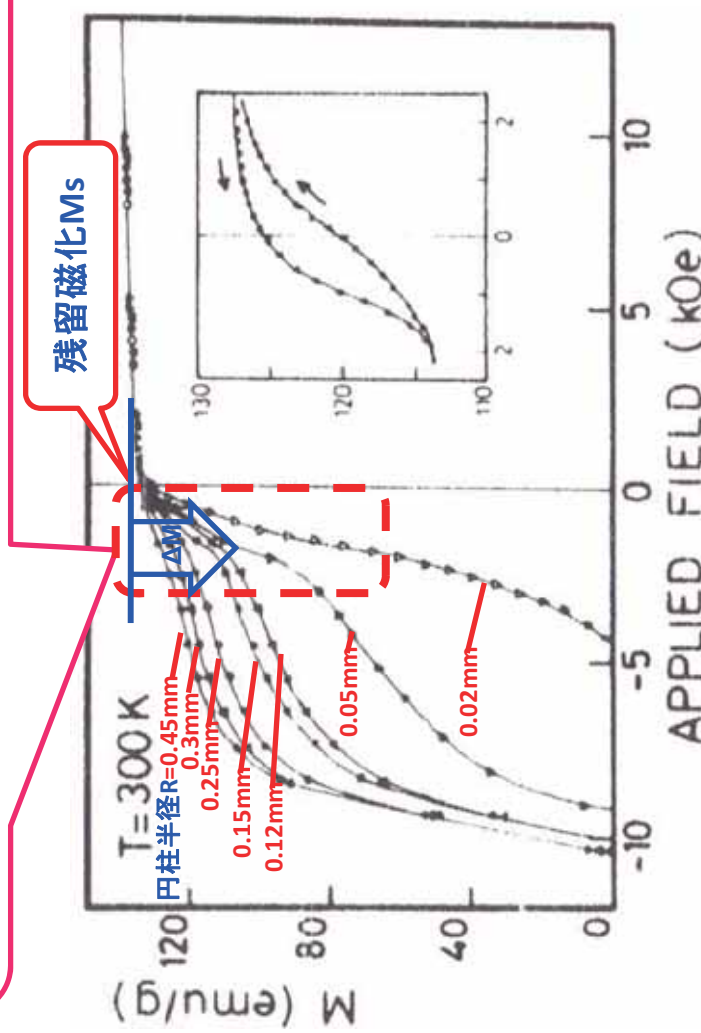
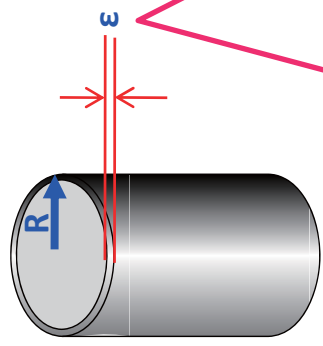


FIG. 1. Recoil curve of NdFeB needle shape magnets at 300 K. ● Sample 1: $R = 0.45$ mm, ▲ Sample 2: $R = 0.3$ mm, ○ Sample 3: $R = 0.25$ mm, ■ Sample 4: $R = 0.15$ mm, △ Sample 5: $R = 0.12$ mm, ▽ Sample 6: $R = 0.05$ mm, ▽ Sample 7: $R = 0.02$ mm. Inset: minor cycle obtained with sample 5 (all recoil curves were obtained after saturation in the 60-kOe field).



保磁力が低下する表層の厚み ε
 $\Delta M/(2M_s) = 2\varepsilon/R \rightarrow \varepsilon = \text{約}10\mu\text{m}$

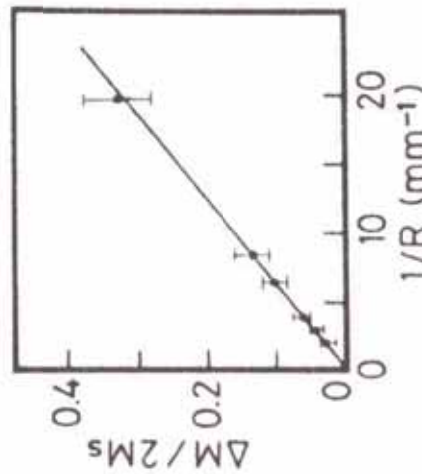
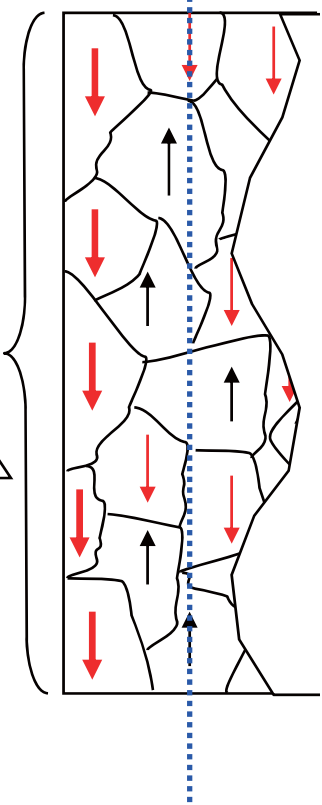


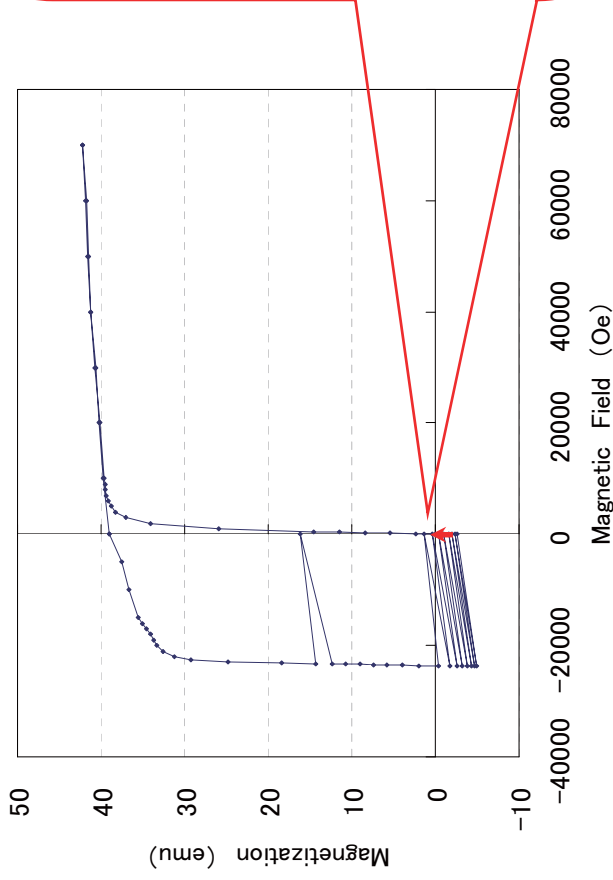
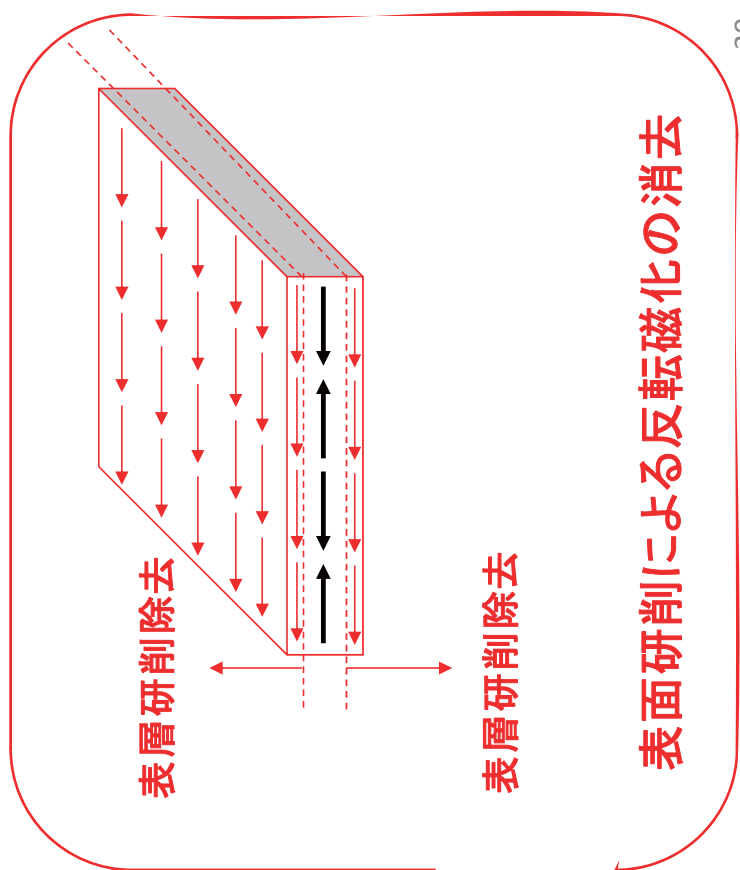
FIG. 2. Variation of $\Delta M/2M_s$ as a function of the reciprocal radius of each sample.

バルク内部の磁区構造を観察するために

初磁化方向
磁场消磁操作時に生成した表層の反転磁区



表層領域の研磨除去により、バルク内部の磁区構造を表面に露出

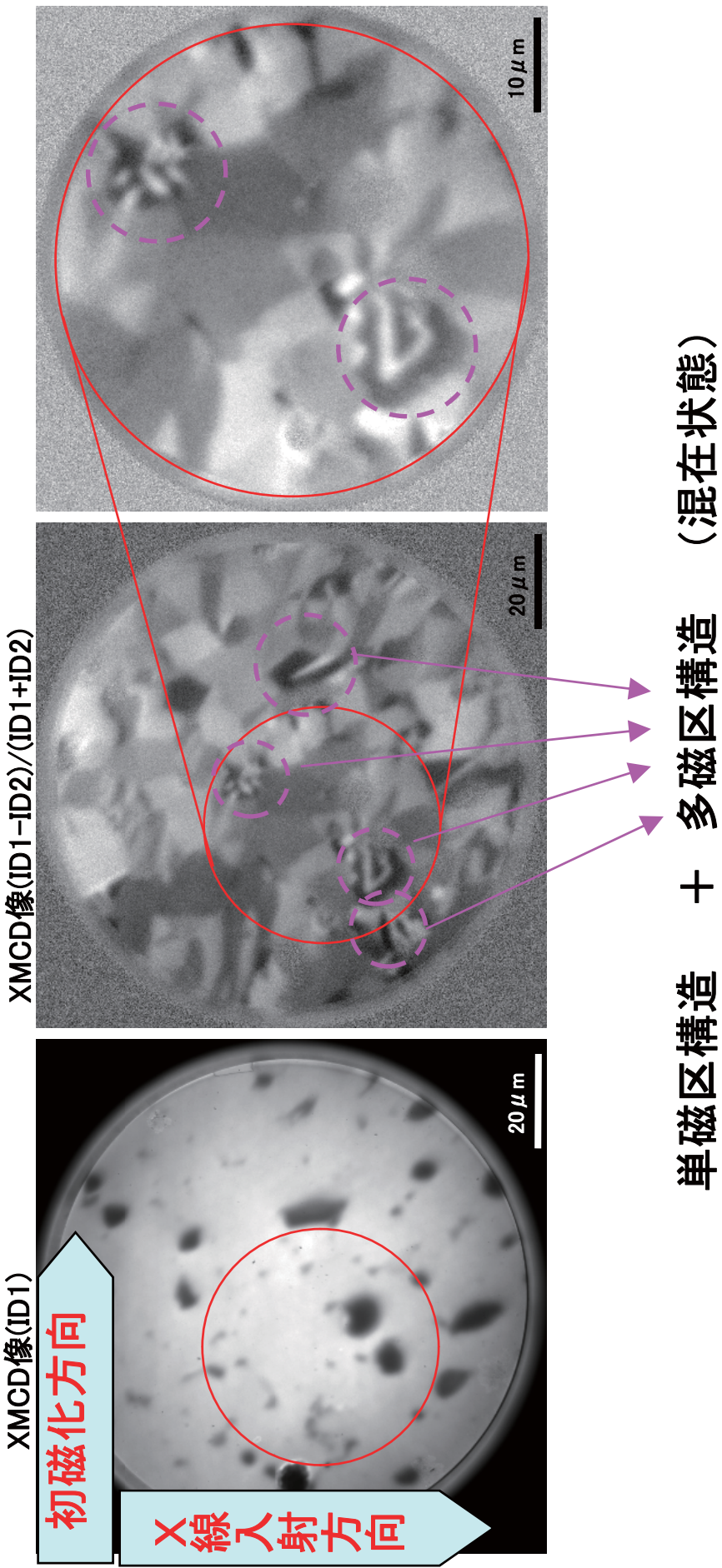


表面研削による反転磁化的消去

表層研削後の磁区構造(BL25SU)

Nd-Fe-B系合金
磁場消磁状態

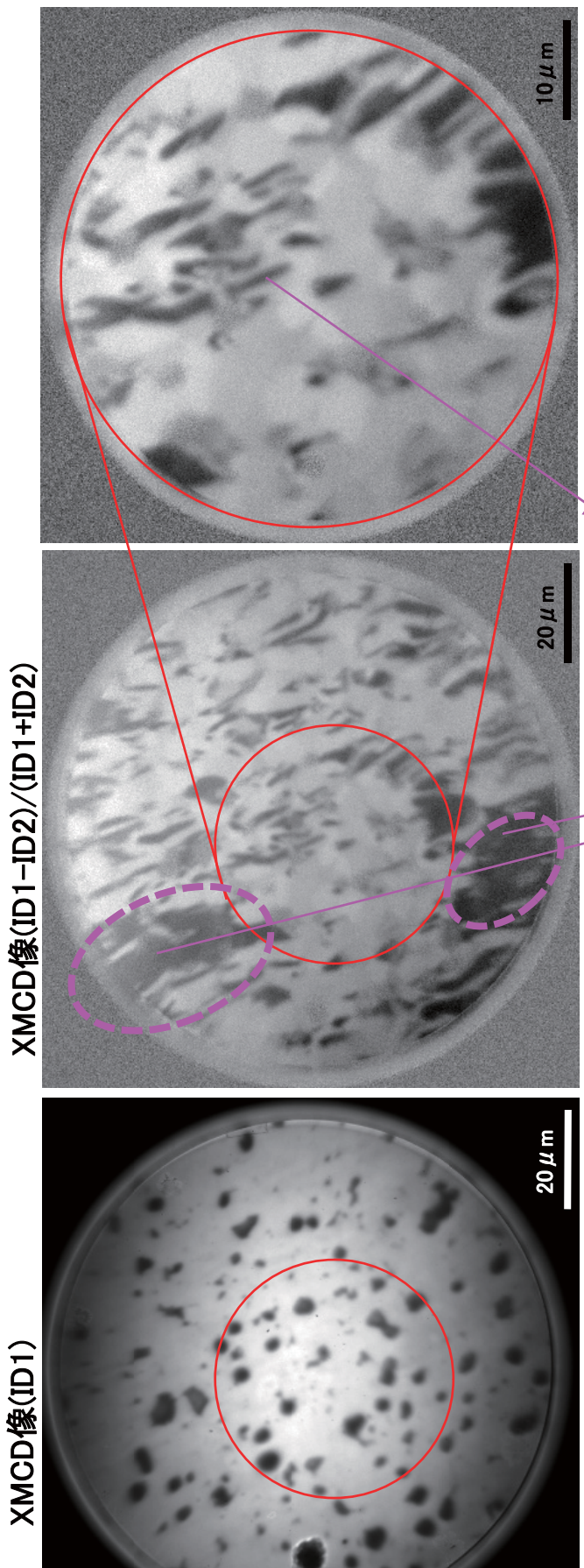
入射光 : Fe-L₃吸収端



表層研削後の磁区構造(BL25SU)

Nd-Fe-B系合金
磁場消磁状態

入射光 : Fe-L₃吸収端
磁化方向の識別 : 白→初磁化方向, 黒→反転方向



初磁化方向

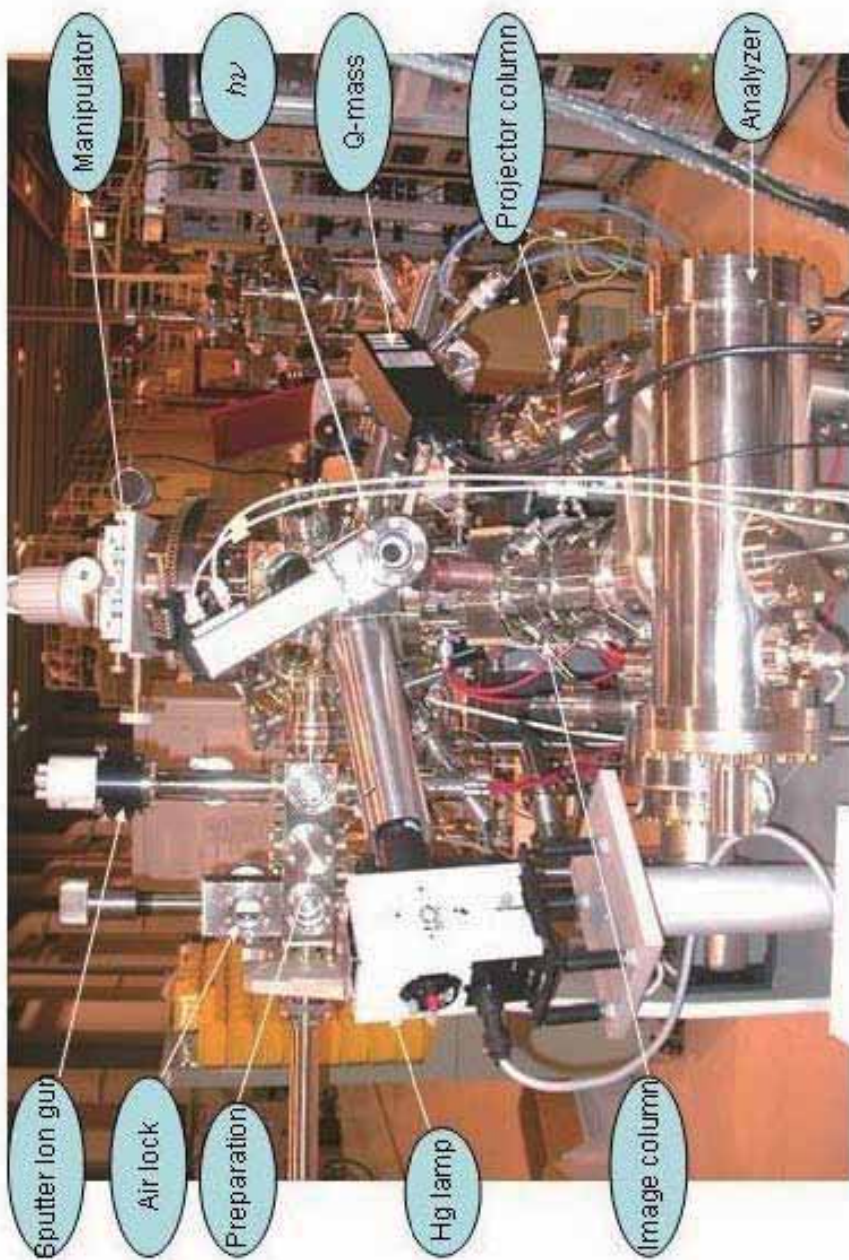
X線入射方向

反転磁区(黒)の分布形態特徴 : “塊状”, “針状”

結晶粒径よりも大きな領域で磁化反転
保磁力の小さい領域がマクロに分布

逆磁区が発生・成長?
OR 表面露出により着磁が解ける?

【BL17SU】分光型光電子・低エネルギー電子顕微鏡 (Elmitec SPEEEM)



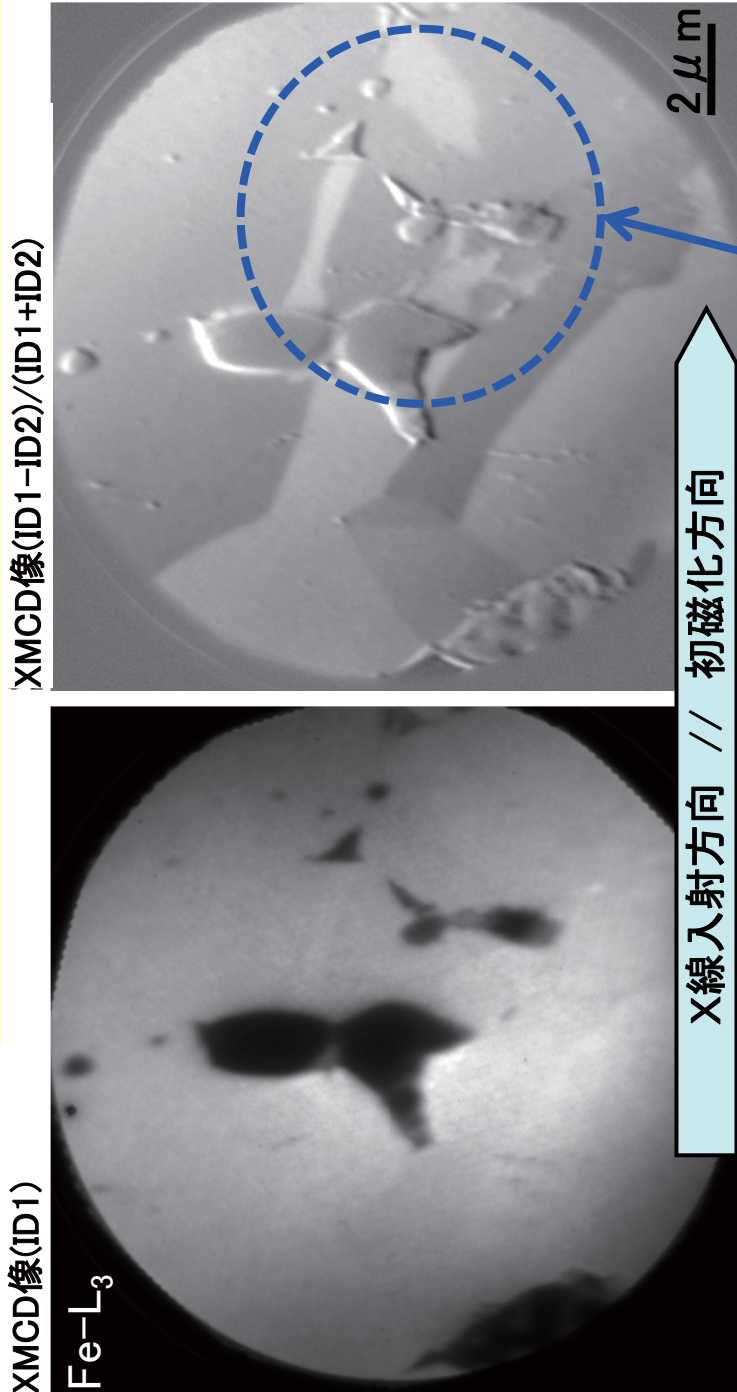
＜特長＞
集光性が高く輝度
→ 高分解能なPEEM像
空間分解能：約30nm
視野径：2~20μm

表層研削後の磁区構造(BL17SU)

Nd-Fe-B系合金
磁場消磁状態

入射光 : Fe-L₃吸収端
磁化方向の識別 : 黒→初磁化方向, 白→反転方向

XMCD像(ID1)
XMCD像(ID1-ID2)/(ID1+ID2)



副相が微細に分布している領域: 微細な多磁区構造

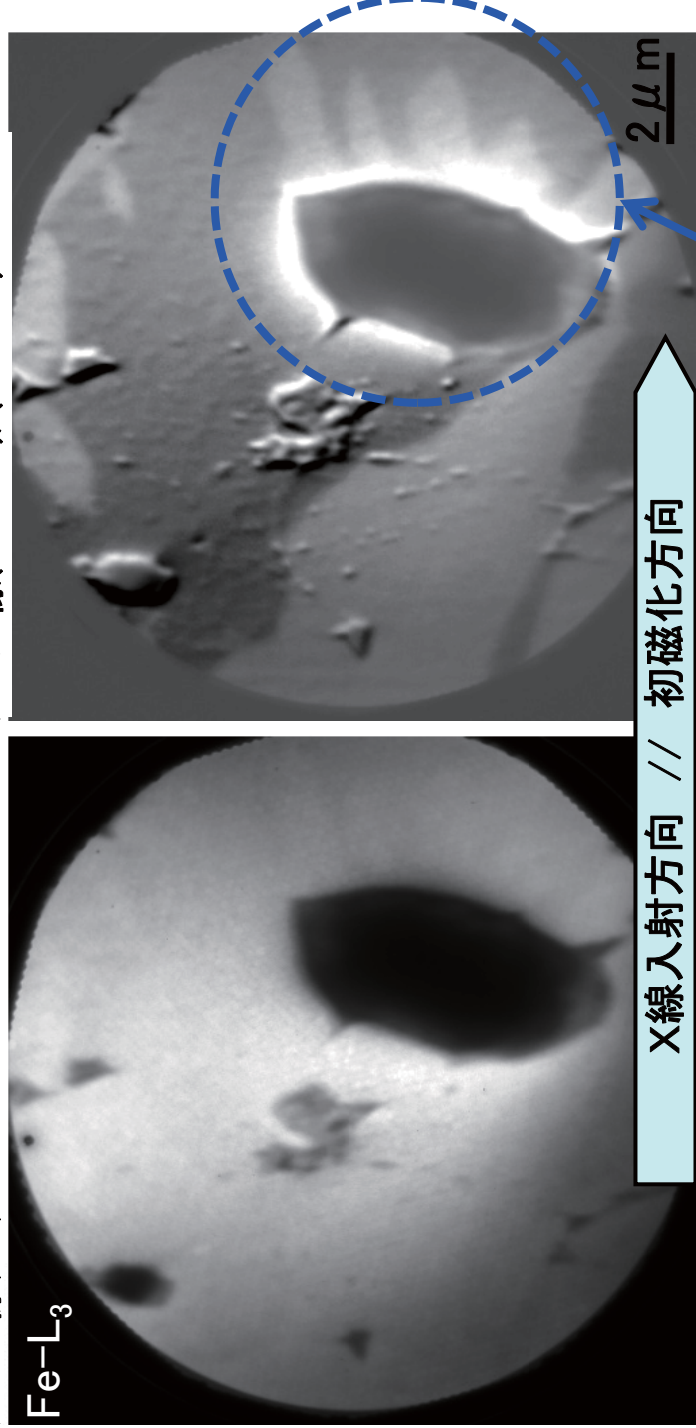
副相領域を起点に逆磁区が発生・成長? OR 表面露出により着磁が解ける?

表層研削後の磁区構造(BL17SU)

Nd-Dy-Fe-B系合金
磁場消磁状態

入射光 : Fe-L₃吸収端
磁化方向の識別 : 黒→初磁化方向, 白→反転方向

XMCD像(ID1)
Fe-L₃

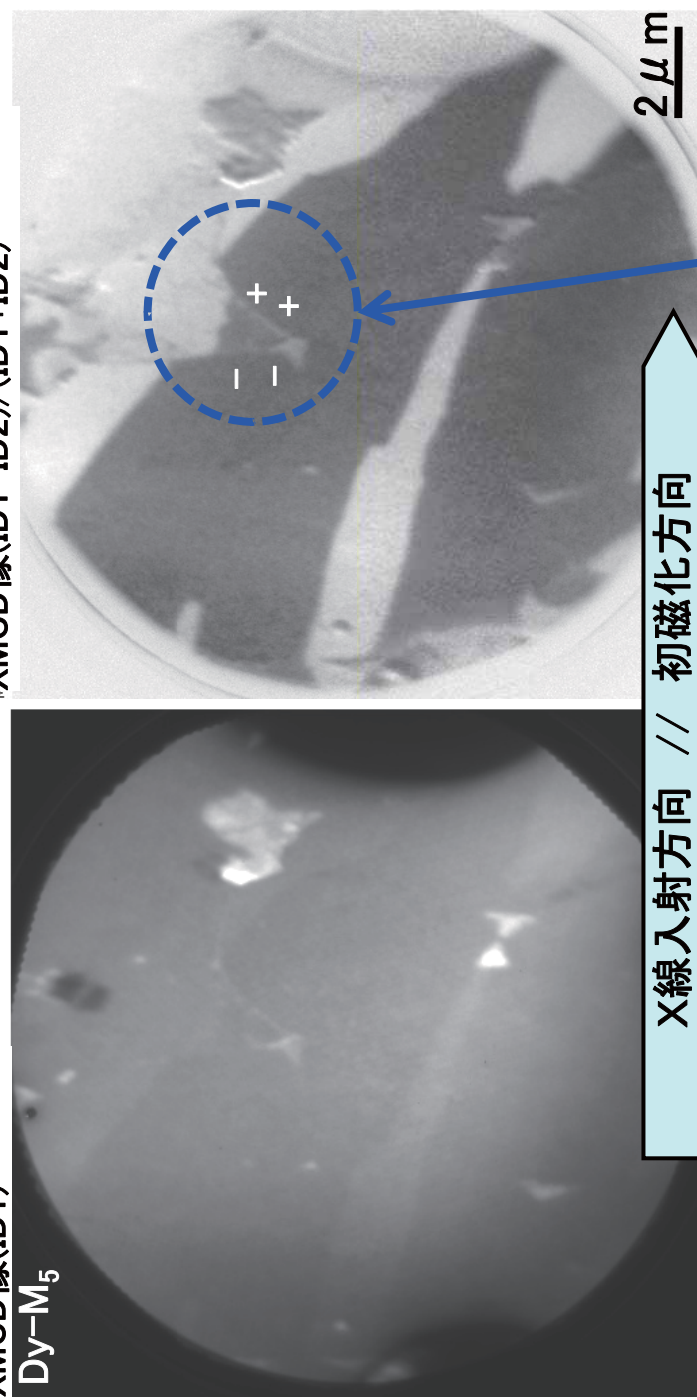


反転磁区(白)の形態特徴 : 副相領域を起点に逆磁区が成長 ?

表層研削後の磁区構造(BL17SU)

入射光 : $Dy-M_5$ 吸収端
磁化方向の識別 : 白→初磁化方向, 黒→反転方向

XMCD像(ID1)
 $Dy-M_5$



【逆磁区発生の起点と伝播(推定)】
・鋭角の粒界で磁極が現れると反磁場の影響により、局所的に保磁力が小さい領域となり、逆磁区が発生しやすくなる。→周辺に伝播した可能性

まとめ

ネオジム磁石の磁化反転に関する材料組織的知見を得ることを目的として、XMCD-PEEM法による磁区観察方法を構築

- (1)熱消磁状態における磁区構造の特徴
多磁区構造が主体であり、c軸配向方向に沿って広範囲にわたって結晶粒間を貫通した磁区構造。**(粒界を超えた磁気的相互作用)**
- (2)外部磁場に対する磁区構造変化 (直流磁場消磁状態)
【磁石表層特有的磁区構造】初磁化とは逆の磁化ベクトルを持つ反転磁区構造で占有される。
(表層部分における磁化の一斉反転現象を視覚的に確認)

【表層直下の磁区構造】

- 特徴1：初磁化状態を維持する領域と、磁化反転した領域が結晶粒よりも大きなサイズで分布
(焼結組織中に、保磁力のマクロな分布)
- 特徴2：副相を起点とした微細な逆磁区の存在を確認
(逆磁区の核発生・成長の形跡 or 表面露出による多磁区化)
- 特徴3：鋭角粒界からの逆磁区発生の伝播(推定)

保磁力を高めるための積極的な組織制御因子を考え、実証するための手段として、
XMCD-PREMが有効活用可能